

การพัฒนาระบบติดตามสถานะรถยนต์สำหรับธุรกิจแบ่งปันรถยนต์โดยใช้ช่อง OBD-II



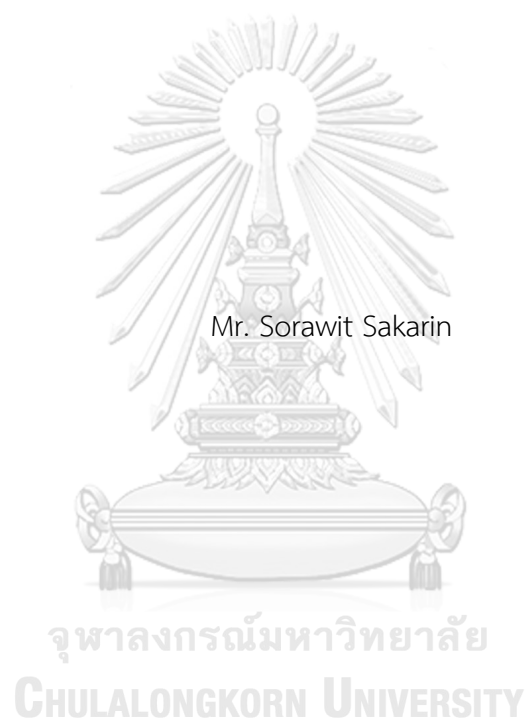
วิทยานิพนธ์นี้เป็นส่วนหนึ่งของการศึกษาตามหลักสูตรปริญญาวิศวกรรมศาสตรมหาบัณฑิต
สาขาวิชาระบบกายภาพที่เชื่อมประสานด้วยเครือข่ายไซเบอร์ ภาควิชาวิศวกรรมเครื่องกล

คณะวิศวกรรมศาสตร์ จุฬาลงกรณ์มหาวิทยาลัย

ปีการศึกษา 2563

ลิขสิทธิ์ของจุฬาลงกรณ์มหาวิทยาลัย

THE DEVELOPMENT OF CAR TRACKING SYSTEM FOR CAR SHARING BUSINESS BY USING
OBD-II



A Thesis Submitted in Partial Fulfillment of the Requirements
for the Degree of Master of Engineering in Cyber-Physical System

Department of Mechanical Engineering

FACULTY OF ENGINEERING

Chulalongkorn University

Academic Year 2020

Copyright of Chulalongkorn University

หัวข้อวิทยานิพนธ์	การพัฒนาระบบติดตามสถานะรถยนต์สำหรับธุรกิจแบ่งปันรถยนต์โดยใช้ช่อง OBD-II
โดย	นายสรวิชญ์ สาครินทร์
สาขาวิชา	ระบบกายภาพที่เชื่อมประสานด้วยเครือข่ายไซเบอร์
อาจารย์ที่ปรึกษาวิทยานิพนธ์หลัก	ผู้ช่วยศาสตราจารย์ ดร.กฤษฎา พนมเชิง

คณะวิศวกรรมศาสตร์ จุฬาลงกรณ์มหาวิทยาลัย อนุมัติให้หัวข้อวิทยานิพนธ์ฉบับนี้เป็นส่วนหนึ่งของการศึกษาตามหลักสูตรปริญญาวิศวกรรมศาสตรมหาบัณฑิต

.....	คณบดีคณะวิศวกรรมศาสตร์
(ศาสตราจารย์ ดร.สุพจน์ เตชวรสินสกุล)	
คณะกรรมการสอบวิทยานิพนธ์	
.....	ประธานกรรมการ
(รองศาสตราจารย์ ดร.รัชทิน จันทร์เจริญ)	
.....	อาจารย์ที่ปรึกษาวิทยานิพนธ์หลัก
(ผู้ช่วยศาสตราจารย์ ดร.กฤษฎา พนมเชิง)	
.....	กรรมการ
(ดร.ณัฐพล ดำรงค์พลาสีทธิ์)	
.....	กรรมการ
(ดร.สุรัฐ ขวัญเมือง)	
.....	กรรมการภายนอกมหาวิทยาลัย
(ดร.กิตติกุล โกวิททางกูร)	

สรวิชัย สาครินทร์ : การพัฒนาระบบติดตามสถานะรถยนต์สำหรับธุรกิจแบ่งปันรถยนต์
โดยใช้ช่อง OBD-II. (THE DEVELOPMENT OF CAR TRACKING SYSTEM FOR CAR
SHARING BUSINESS BY USING OBD-II) อ.ที่ปรึกษาหลัก : ผศ. ดร.กฤษฎา พนมเชิง

ในช่วงไม่กี่ปีที่ผ่านมา ธุรกิจแบ่งปันรถเช่าทั่วโลกเติบโตขึ้นอย่างมาก แต่การเช่ารถยนต์
นั้นยังมีปัญหาอยู่สองข้อคือความไม่สะดวกต่อการทำสัญญาเช่ารถยนต์และการที่ไม่สามารถติดตาม
สถานะของรถยนต์ได้ เพื่อที่จะติดตามสถานะของรถยนต์ เราต้องการระบบที่สามารถดึงข้อมูลดิบ
จากรถยนต์ส่งขึ้นสู่คลาวด์เซิร์ฟเวอร์ในเวลาจริง ในช่วงเวลาเดียวกัน เทคโนโลยีอินเทอร์เน็ตทุกสรรพ
สิ่งได้ถูกนำไปใช้ในหลายอุตสาหกรรมเพื่อเพิ่มศักยภาพในการทำงาน เช่นอุตสาหกรรมทางการแพทย์
การเกษตร และการขนส่งอัจฉริยะ ดังนั้นธุรกิจแบ่งปันรถเช่าก็น่าจะมีช่องว่างสำหรับการพัฒนา
เพิ่มเติมด้วยเทคโนโลยีนี้เช่นกัน งานวิจัยนี้ได้ทำการพัฒนาอุปกรณ์สำหรับเชื่อมต่อภายในรถยนต์
เรียกว่ากล่องโคบ็อกซ์ อุปกรณ์สามารถดึงข้อมูลที่ต้องการจากรถยนต์และส่งล็อกหรือปลดล็อกได้
ด้วยช่องโอบีดีทู อุปกรณ์สามารถรับสัญญาณตำแหน่งจีพีเอสและส่งข้อมูลที่ต้องการสู่คลาวด์ไฟร์เบส
เซิร์ฟเวอร์ได้บนเวลาจริง อย่างไรก็ตาม ระบบติดตามสถานะของรถยนต์นี้สามารถทำงานได้ดีใน
รถยนต์ Toyota Altis 2016 เท่านั้น ผู้วิจัยจึงมีแผนในการพัฒนาระบบติดตามเพื่อรองรับกับ
รถยนต์รุ่นต่างๆต่อไปในอนาคต

จุฬาลงกรณ์มหาวิทยาลัย
CHULALONGKORN UNIVERSITY

สาขาวิชา ระบบกายภาพที่เชื่อมประสาน ลายมือชื่อนิสิต
ด้วยเครือข่ายไซเบอร์
ปีการศึกษา 2563 ลายมือชื่อ อ.ที่ปรึกษาหลัก

6270374621 : MAJOR CYBER-PHYSICAL SYSTEM

KEYWORD: OBD-II, internet of things, Gps

Sorawit Sakarin : THE DEVELOPMENT OF CAR TRACKING SYSTEM FOR CAR SHARING BUSINESS BY USING OBD-II. Advisor: Asst. Prof. Gridsada Phanomchoeng

In the last few years, the car sharing businesses around the world are greatly growing. Nowadays, the main problems in renting cars are uncomfortably contracting and inconvenient tracking statuses of cars. In order to tracking cars, we need a system which receives raw data from cars and send them to cloud server real-time. Simultaneously, internet of thing technology is implemented to many industries like medical areas, agriculture and intelligent transportation. Hence, the car sharing business can be excelled by merging IOT technology with a traditional methodology. CoBox is an IOT device which designed to accomplish the tracking system. It can receive and transmit data to cars by connecting with OBD-II port. Monitoring, receiving locations from GPS module, managing power supply and connecting to Firebase server are controlled by using ESP32. With these abilities, the car tracking system can collect needed data and can control lock-unlock door real-time. However, the system only support on Toyota Altis2016 for now, we plan to verify with the other classes of cars in the future.

Field of Study: Cyber-Physical System

Student's Signature

Academic Year: 2020

Advisor's Signature

กิตติกรรมประกาศ

วิทยานิพนธ์ฉบับนี้ดำเนินการสำเร็จลุล่วงไปด้วยดีจากความกรุณาของผู้ช่วยศาสตราจารย์ ดร. กฤษณา พนมเชิง อาจารย์ที่ปรึกษาวิทยานิพนธ์ ที่ได้เสียสละเวลาให้คำปรึกษา ให้คำแนะนำ เสนอแนวทาง ให้ความอนุเคราะห์ ตลอดจนแก้ไขข้อบกพร่องต่างๆ ติดต่อผู้เชี่ยวชาญเฉพาะทางเพื่อรับคำปรึกษาเพิ่มเติม จนวิทยานิพนธ์ครั้งนี้เสร็จสมบูรณ์ ผู้วิจัยรู้สึกซาบซึ้งในความกรุณาเป็นอย่างยิ่ง จึงขอกราบขอบพระคุณเป็นอย่างสูง

กราบขอบพระคุณรองศาสตราจารย์ ดร.รัชทิน จันทรเจริญ อาจารย์ ดร.สุรัฐ ขวัญเมือง และอาจารย์ ดร.ณัฐพล ดำรงค์พลาสีทธิ์ ที่ได้เสียสละเวลา ติดตามและให้คำแนะนำทำให้วิทยานิพนธ์ฉบับนี้ครบถ้วนสมบูรณ์ และกราบขอบพระคุณดร. กิตติกุล โกวิททางกูร ที่กรุณาเป็นผู้ให้คำปรึกษาด้านการเขียนและติดต่อกับบริษัทเอกชน รวมทั้งเป็นกรรมการคุมสอบวิทยานิพนธ์ ผู้วิจัยขอกราบขอบพระคุณด้วยความเคารพอย่างสูง

กราบขอบพระคุณบริษัท กรุงเทพคาร์เร็นท์ แอนด์ ลีส จำกัด ที่ร่วมมือกันพัฒนาความต้องการของระบบติดตามสถานะของรถยนต์ อีกทั้งยังจัดเตรียมรถยนต์สำหรับทำการวิจัยและทดสอบเก็บข้อมูล และแนะนำถึงแนวทางแก้ไขและวางแผนในการปรับปรุงระบบในอนาคตต่อไป

กราบขอบคุณบริษัท โซลิแมค ออโตเมชัน จำกัดและเพื่อนร่วมงานที่ให้ความรู้ ความร่วมมือ และสนับสนุนการทำวิทยานิพนธ์ ช่วยกันขัดเกลาและแลกเปลี่ยนข้อมูลตลอดการทำวิทยานิพนธ์ในการเรียนปริญญาโท

สุดท้ายนี้ผู้วิจัยขอกราบขอบพระคุณบิดามารดา ที่ให้กำลังใจและสนับสนุนการศึกษาทำงานของผู้วิจัยเสมอมา อีกทั้งยังชี้แนะแนวทางและออกความเห็นให้กับการทำวิทยานิพนธ์ฉบับนี้จนครบถ้วนสมบูรณ์ ผู้วิจัยขอกราบขอบพระคุณด้วยความเคารพอย่างสูง

สรวิชญ์ สาครินทร์

สารบัญ

	หน้า
บทคัดย่อภาษาไทย.....	ค
บทคัดย่อภาษาอังกฤษ.....	ง
กิตติกรรมประกาศ.....	จ
สารบัญ.....	ฉ
สารบัญตาราง.....	ฌ
สารบัญภาพ.....	ญ
บทที่ 1 บทนำ.....	12
1.1 ที่มาและความสำคัญ.....	12
1.1.1 หน้าที่การทำงานหลักของอุปกรณ์ IOT (Internet Of Thing).....	13
1.1.2 ช่องเชื่อมต่อโอบีดีทู.....	13
1.1.3 การสื่อสารไร้สาย.....	16
1.1.3.1 การสื่อสารด้วยบลูทูธพลังงานต่ำ.....	17
1.1.4 การระบุตำแหน่งด้วยจีพีเอส.....	20
1.1.5 Firebase database.....	22
1.1.5.1 ส่งเสริมให้แอปพลิเคชันดียิ่งขึ้น.....	23
1.1.5.2 ส่งเสริมคุณภาพของแอปพลิเคชัน.....	24
1.1.5.3. ตอบโจทย์ต่อการพัฒนาธุรกิจ.....	24
1.2 วัตถุประสงค์ของงานวิจัย.....	27
1.3 ขอบเขตของงานวิจัย.....	27
1.4 ระเบียบขั้นตอนของงานวิจัย.....	27
1.5 ประโยชน์ที่คาดว่าจะได้รับ.....	28

บทที่ 2 ระเบียบวิธีดำเนินงาน	29
2.1 ออกแบบระบบ	29
2.2 ออกแบบอุปกรณ์ต้นแบบ	30
2.3 เขียนโปรแกรมสำหรับการทำงานของกล่อง CoBox.....	33
2.3.1 แผนผังการทำงานของโปรแกรม	33
2.3.2 การเขียนโปรแกรมแบบ Multitasking ของ Free RTOS.....	35
2.3.3 การเขียนโปรแกรมสำหรับควบคุมโมดูลแคช	36
2.3.4 การเขียนโปรแกรมสำหรับควบคุมโมดูลจีพีเอส.....	40
2.3.5 การเขียนโปรแกรมสำหรับรวมข้อมูล	41
2.3.6 การเขียนโปรแกรมสำหรับควบคุมบลูทูธพลังงานต่ำ	41
2.3.7 การเขียนโปรแกรมสำหรับควบคุมโมดูลสามจี.....	43
2.3.8 การเขียนโปรแกรมสำหรับควบคุมการใช้พลังงาน	45
บทที่ 3 การทดลอง	47
3.1 ติดตั้งอุปกรณ์.....	47
3.2 ข้อมูลบนเซิร์ฟเวอร์.....	48
3.3 ทดสอบปลดล้อคประตู.....	49
3.3.1 สั่งการผ่านบลูทูธคอนเนคชัน	49
3.3.2 สั่งการผ่านอินเทอร์เน็ตคอนเนคชัน	50
บทที่ 4 ผลการทดลอง.....	51
4.1 วิเคราะห์ข้อมูลจากFirebase realtime database.....	51
4.1.1 อภิปรายคุณภาพของข้อมูล	51
4.1.2 อภิปรายคุณภาพของการส่งข้อมูล	54
4.2 รายงานตรวจสอบจากบริษัทรถเช่า	54
บทที่ 5 บทสรุป.....	56

บรรณานุกรม.....	57
ประวัติผู้เขียน.....	60



จุฬาลงกรณ์มหาวิทยาลัย
CHULALONGKORN UNIVERSITY

สารบัญตาราง

	หน้า
ตารางที่ 1 รายละเอียดของการสื่อสารไร้สายประเภทบลูทูธ และ เอ็นเอฟซี	18
ตารางที่ 2 ผลทดสอบการวิ่งรถทั้ง 39 คน.....	22
ตารางที่ 3 รหัสแชนไอดีของข้อมูลที่ดึงออกจากรถยนต์.....	39



สารบัญภาพ

	หน้า
รูปที่ 1 ขาพินของโอปีดีทู	14
รูปที่ 2 OBD และ CAN Sampling ของ SensorHUB	15
รูปที่ 3 กราฟความสัมพันธ์ระหว่างความเร็วและการเผาผลาญเชื้อเพลิง.....	15
รูปที่ 4 กราฟความสัมพันธ์ระหว่างอัตราทดต่อเวลา.....	16
รูปที่ 5 กราฟแสดงความเร็วรอบเครื่อง ความเร็วรถยนต์ เพอร์เซ็นต์เหยียบคันเร่ง และเกียร์บนเวลาเดียวกัน.....	17
รูปที่ 6 แผนผังการออกแบบโดยใช้การสื่อสารไร้สาย.....	18
รูปที่ 7 ไดอะแกรม และ อุปกรณ์ต้นแบบสำหรับการส่งสัญญาณไร้สาย	18
รูปที่ 8 โครงสร้างทั่วไปของบลูทูธพลังงานต่ำ	19
รูปที่ 9 วิธีการโจมตีทางบลูทูธเจ็ครูปแบบ	20
รูปที่ 10 แผนผังการโจมตีของเวอร์ม.....	21
รูปที่ 11 หลักการทำงานของจีพีเอสอย่างง่าย.....	22
รูปที่ 12 แผนภูมิการใช้รถตลอดวัน	23
รูปที่ 13 ตัวอย่างข้อมูลที่ใช้ในการทดสอบ.....	27
รูปที่ 14 กราฟการเปรียบเทียบระหว่าง Firebase และ MySQL ด้วยวิธี CRUD.....	28
รูปที่ 15 แผนผังการทำงานของระบบติดตามรถยนต์.....	30
รูปที่ 16 โมดูลภายในกล่องต้นแบบ	32
รูปที่ 17 แผนผังการทำงานของแต่ละโมดูลภายในอุปกรณ์ต้นแบบ	33
รูปที่ 18 แผนผังการเชื่อมต่อโมดูลภายใน CoBox.....	34
รูปที่ 19 แผนผังการทำงานส่วนรับข้อมูลจากรถยนต์.....	35
รูปที่ 20 แผนผังการทำงานส่วนรับส่งข้อมูลผ่านอุปกรณ์ไร้สาย	36

รูปที่ 21	ประกาศตัวแปรสำหรับการทำงานมัลติทาสกิ้ง	36
รูปที่ 22	ตัวอย่างโครงสร้างการเขียนโปรแกรมมัลติทาสกิ้ง.....	37
รูปที่ 23	โปรแกรมควบคุมโมดูลแคนบัสส่วนการตั้งค่า	38
รูปที่ 24	โปรแกรมควบคุมโมดูลแคนบัสส่วนดึงข้อมูล.....	39
รูปที่ 25	ตัวอย่างข้อมูลที่ถูกดึงจากรถยนต์ในช่วงเวลา 1645407-1645455 มิลลิวินาที.....	39
รูปที่ 26	โปรแกรมควบคุมโมดูลแคนบัสส่วนคำนวณค่าของข้อมูล.....	41
รูปที่ 27	โปรแกรมดึงข้อมูลตำแหน่งผ่านการสื่อสารประเภทซีเรียล	42
รูปที่ 28	โปรแกรมรวมข้อมูลจากโมดูลแคนบัสและโมดูลจีพีเอส	42
รูปที่ 29	ผังการทำงานของบลูทูธเซิร์ฟเวอร์.....	44
รูปที่ 30	แผนผังการทำงานของโมดูลสามจี	45
รูปที่ 31	ปริมาณกระแสไฟฟ้าขณะกล่อง CoBox ทำงาน.....	46
รูปที่ 32	ปริมาณกระแสไฟฟ้าขณะกล่อง CoBox หลับ	47
รูปที่ 33	กล่อง CoBox.....	48
รูปที่ 34	ต่ลบต่อสายไฟ.....	48
รูปที่ 35	ตำแหน่งติดตั้ง CoBox ภายในคอนโซล.....	49
รูปที่ 36	ตัวอย่างข้อมูลจากรถยนต์ในรูปแบบเจสัน.....	49
รูปที่ 37	ตัวอย่างข้อมูลจากรถยนต์ในโปรแกรมไมโครซอฟท์เอ็กเซล	50
รูปที่ 38	ส่งล้อครถยนต์ผ่านอินเทอร์เน็ตขณะรถยนต์ไม่ถูกใช้งาน	51
รูปที่ 39	กราฟความสัมพันธ์ของความเร็วรถยนต์ต่อเวลา.....	52
รูปที่ 40	กราฟความสัมพันธ์ของความเร็วรอบเครื่องต่อเวลา.....	52
รูปที่ 41	กราฟความสัมพันธ์ของเลขไมล์ต่อเวลา	53
รูปที่ 42	กราฟความสัมพันธ์ของระดับน้ำมันต่อเวลา.....	53
รูปที่ 43	พิกัดการเดินทางระหว่างขับรถยนต์ไปเติมน้ำมัน	53
รูปที่ 44	ตารางรายการตรวจสอบของบริษัทรถเช่า	56



จุฬาลงกรณ์มหาวิทยาลัย
CHULALONGKORN UNIVERSITY

บทที่ 1

บทนำ

1.1 ที่มาและความสำคัญ

ธุรกิจแบ่งปันรถยนต์ (car-sharing) เติบโตเป็นอย่างมากในช่วงสองสามปีที่ผ่านมา โดยมีมูลค่าตลาดทั่วโลกรวมกันมากกว่าสองพันห้าร้อยล้าน ดอลลาร์สหรัฐในปี 2019 ซึ่งมีมูลค่าโดยรวมมากกว่าในปี 2018 ถึง 39 เปอร์เซ็นต์ และมีแนวโน้มว่าจะโตต่อไปมากกว่า 24 เปอร์เซ็นต์ต่อปีจนถึงปี 2026[1] โดยปัจจัยหลักที่ส่งผลให้ธุรกิจแบ่งปันรถยนต์เติบโตอย่างรวดเร็วมีทั้งหมด 4 ปัจจัย ปัจจัยแรกคือจำนวนประชากรที่เพิ่มขึ้นภายในเมือง โดยประชากรโลกปัจจุบันมีประมาณเจ็ดพันเจ็ดร้อยล้านคน ซึ่งเพิ่มขึ้นกว่าหนึ่งพันล้านคนภายในเวลาสองร้อยปีและยังมีแนวโน้มที่ประชากรจะเพิ่มขึ้นอีก 1.05 เปอร์เซ็นต์ต่อปี หรือก็คือประมาณแปดสิบล้านคนต่อปี[2, 3] ความหนาแน่นของประชากรต่อพื้นที่ที่มากเป็นตัวดึงดูดการลงทุนของนักลงทุนเป็นอย่างดี ปัจจัยที่สองคือการครอบคลุมของระบบขนส่งสาธารณะ ประชากรจะเข้าถึงขนส่งสาธารณะได้ง่ายขึ้นส่งผลให้มีความต้องการการครอบครองรถยนต์ส่วนตัวลดลง[4] จึงนิยมใช้รถเช่าร่วมกันกับระบบขนส่งสาธารณะ ปัจจัยต่อมาคือนโยบายของภาครัฐที่ช่วยสนับสนุนให้ประชาชนหันมาใช้รถยนต์สาธารณะมากขึ้นเช่น ช่วยลดค่าใช้จ่ายหรือปรับปรุงคุณภาพของระบบขนส่งมวลชน ปัจจัยสุดท้ายคือการมีพื้นที่จอดรถส่วนตัวสำหรับบริการรถเช่า ในเมืองที่มีจำนวนประชากรหนาแน่นอย่างเช่นกรุงเทพมหานคร ประชากรมักจะประสบปัญหาเรื่องการหาพื้นที่สำหรับจอดรถยนต์ส่วนตัวยากส่งผลเสียต่อทั้งสุขภาพกายและสุขภาพจิต ดังนั้นธุรกิจรถเช่าจำนวนมากจึงมีบริการพื้นที่จอดรถยนต์เฉพาะเพื่อรองรับความต้องการส่วนนี้ตามพื้นที่สำคัญต่างๆ

ธุรกิจแบ่งปันรถยนต์นั้นมีรูปแบบหลักอยู่ 3 แบบด้วยกัน รูปแบบแรกคือรับรถตามสถานี (Station-based) โดยทางบริษัทรถเช่าจะทำการจัดเตรียมพื้นที่สำหรับจอดรถไว้ตามสถานที่ต่างๆ ผู้เช่าสามารถทำการเลือกรถได้ตามสถานที่ต่างๆ แต่จะต้องนำรถยนต์กลับมาคืนในสถานที่นั้นๆเช่นกัน โดยจะมีรูปแบบย่อยลงไปอีก 2 แบบ รูปแบบย่อยแรกคือราวด์ทริป (Round trip) เป็นรูปแบบที่ผู้เช่าจะต้องนำรถยนต์กลับมาจอดในพื้นที่เดียวกันกับสถานที่ที่ขับรถออกไป และอีกรูปแบบคือ วันเวย์ทริป (One-way trip) ผู้เช่าสามารถคืนรถยนต์ได้ที่สถานีไหนก็ได้ตามที่ต้องการ รูปแบบธุรกิจแบ่งปันรถยนต์ถัดมาเรียกว่า เพียร์ทูเพียร์ (Peer to peer) โดยทางบริษัทรถเช่าจะเป็นเพียงแค่ตัวกลางในการติดต่อระหว่างผู้เช่า จะไม่มีการเตรียมสถานีจอดรถยนต์ ซึ่งผู้เช่าจะต้องจัดการเรื่อง

สถานีจอตrolleyยนต์กันเอง รูปแบบสุดท้ายเรียกว่าการเช่าอิสระ (Free-floating) จะมีรูปแบบการเช่าที่คล้ายคลึงกันกับรูปแบบก่อนหน้า แต่รูปแบบนี้จะไม่มีการตกลงเรื่องสถานีจอตrolleyยนต์กันก่อน ผู้เช่าสามารถรับและคืนรถยนต์ได้ทุกที่ตามต้องการทราบเท่าที่ไม่ผิดกฎระเบียบทางสังคม[5]

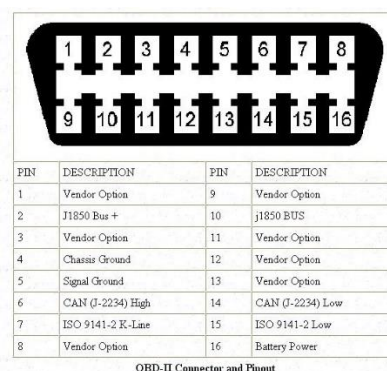
รถยนต์สำหรับการใช้งานเพื่อธุรกิจรถเข้านั้นมีด้วยกันหลากหลายประเภทขึ้นกับการใช้งานตามวัตถุประสงค์ โดยทั่วไปบริษัทรถเช่าจะนำรถยนต์ทั่วไปมาติดตั้งอุปกรณ์เสริมเฉพาะเพื่อเพิ่มฟังก์ชันการใช้งานให้เหมาะสมกับการเช่า อุปกรณ์เหล่านี้ทำหน้าที่เป็นตัวกลางการสื่อสารระหว่างผู้ขับและผู้ให้บริการโดยมีรูปแบบแตกต่างกันไปตามแต่แนวทางการให้บริการ

1.1.1 หน้าที่การทำงานหลักของอุปกรณ์ IOT (Internet Of Thing)

จากการหารือร่วมกับบริษัทรถเช่ารายใหญ่ในประเทศไทย รถยนต์หลังจากได้รับการติดตั้งอุปกรณ์ชุดนี้แล้ว จะต้องสามารถรับส่งข้อมูลเฉพาะระหว่างรถยนต์และผู้ควบคุมระบบได้ โดยจะต้องพึ่งระบบสื่อสารไร้สาย อาทิเช่น อินเทอร์เน็ต หรือ บลูทูธ โดยข้อมูลที่รับมาจากรถยนต์นั้นจะสามารถนำไปวิเคราะห์เหตุการณ์ต่างๆได้ ยกตัวอย่างเช่น การวิเคราะห์อัตราการเผาผลาญเชื้อเพลิงเกินความจำเป็นหรือการวิเคราะห์ความประพฤตินบนท้องถนนของผู้ขับรถยนต์เป็นต้น โดยข้อมูลต่างๆบนรถยนต์นั้นสามารถดึงออกมาได้จากช่องโอบีดีทู (OBD-II) ของรถยนต์

1.1.2 ช่องเชื่อมต่อโอบีดีทู

ตามมาตรฐาน SAE J1979[6] รถยนต์ทุกคันบนท้องถนนจะต้องรองรับมาตรฐานนี้ร่วมกันจะต้องมีช่องสื่อสารโอบีดีทู ไว้สำหรับดึงข้อมูลสำคัญออกจากรถยนต์ ตามมาตรฐานทั่วทั้งรถยนต์มีเซนเซอร์สำหรับตรวจสอบสภาพรถยนต์ในยามจำเป็นยกตัวอย่างเช่น เซนเซอร์ตรวจจับความเร็วของยานพาหนะ เซนเซอร์วัดอุณหภูมิภายในรถ หรือ เซนเซอร์วัดระดับน้ำมันในถัง ช่องโอบีดีทูมีขาเชื่อมต่อทั้งหมด 16 ขาดังรูปที่ 1 ซึ่งแต่ละขาจะถูกนำไปใช้ตามแต่วัตถุประสงค์



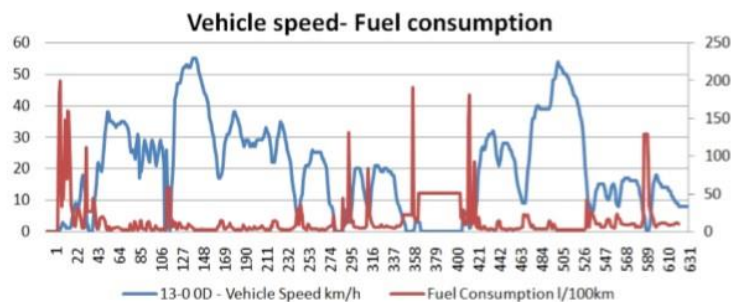
รูปที่ 1 ขาพินของโอบีดีทู

ผลิตภัณฑ์ในท้องตลาดสำหรับการดึงข้อมูลออกจากรถยนต์นั้นมีค่อนข้างหลากหลาย มีข้อดีข้อเสียแตกต่างกันไปยกตัวอย่างการเปรียบเทียบระหว่าง OBD และ CAN Sampling ของ SensorHUB Framework ดังรูปที่ 2 เรื่องการเปรียบเทียบการดึงข้อมูลระหว่างใช้ OBD-II service กับ CAN BUS ทั้งสองตัวสามารถดึงข้อมูลออกมาได้ทุกตัวตามที่ต้องการ แต่ OBD-II service จะมีความถี่ในการส่งออกข้อมูลอยู่ที่ 1Hz ซึ่งในส่วนของ CAN BUS จะละเอียดที่สุดอยู่ที่ 5 HZ โดยสรุปแล้วหากต้องการความละเอียดของข้อมูลนั้นควรจะใช้การรับส่งข้อมูลโดยใช้ OBD-II service แต่จะมีข้อเสียเรื่องความปลอดภัยขณะการใช้งาน เพราะจะติดตั้งอุปกรณ์ผ่านทางช่องโอปิตีพู่จะสามารถถูกถอดได้ง่าย[7]



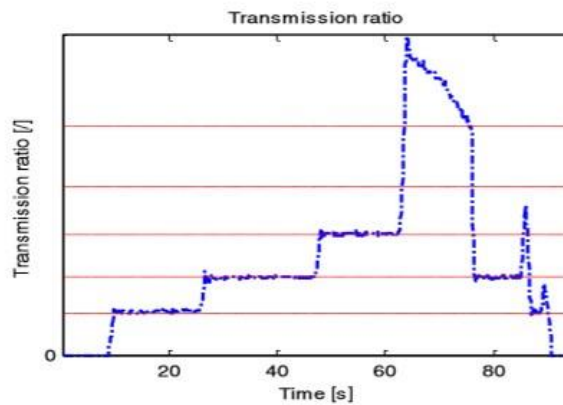
รูปที่ 2 OBD และ CAN Sampling ของ SensorHUB

ค่าที่สามารถดึงออกมาได้จากโอปิตีพู่ที่มีเยอะมาก ค่าหลักๆที่เหมาะสมสำหรับมาวิเคราะห์การทำงานของเครื่องยนต์มีดังนี้ Engine coolant temperature, short term fuel trim, Engine RPM, Vehicle speed, Air flow rate จากการทดลองขับรถเป็นระยะทาง 5 กิโลเมตร บันทึกค่าตัวแปรดังกล่าว[8] สามารถวิเคราะห์ออกมาได้ว่าค่าการเผาผลาญเชื้อเพลิงนั้น ใกล้เคียงกับค่าจากทางผู้ผลิต มีปัจจัยหลักสำคัญที่ทำให้ค่าคลาดเคลื่อนคือพฤติกรรมของผู้ขับ หากขับรถยนต์ด้วยอัตราเร็วคงที่มีการเผาผลาญเชื้อเพลิงที่ต่ำกว่าการขับหยุดขับหยุด ดังรูปที่ 3 จะเห็นว่าอัตราการเผาผลาญเชื้อเพลิง(สีแดง)จะพุ่งสูงขึ้นเมื่อความเร็วรถยนต์(สีฟ้า)ลดลง จากการทดลองขับรถยนต์ขึ้นทางด่วนมีอัตราการเผาผลาญเชื้อเพลิงต่ำที่สุดเนื่องจากขับรถยนต์ด้วยความเร็วคงที่ตลอด

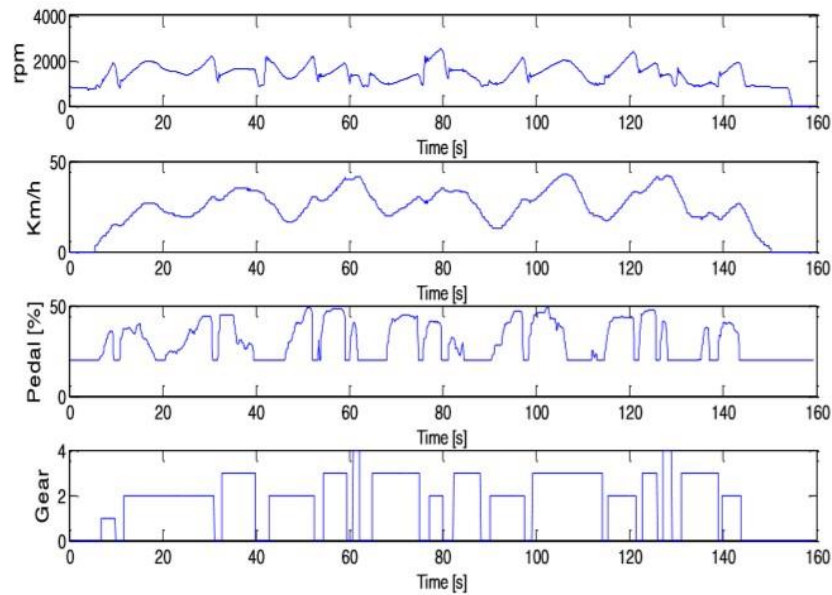


รูปที่ 3 กราฟความสัมพันธ์ระหว่างความเร็วและการเผาผลาญเชื้อเพลิง

ค่าเซนเซอร์จากโอปีตีทูนนั้นไม่ได้ครอบคลุมหมดทุกค่าที่เราต้องการ บางค่าไม่มีการเตรียมไว้รองรับ ยกตัวอย่างเช่นตำแหน่งของเกียร์กระปุกในรถยนต์ที่ไม่ได้มีการรองรับ การรับรู้สถานะของเกียร์นั้นมีประโยชน์อย่างมากในการไปวิเคราะห์ประสิทธิภาพการส่งกำลังและการควบคุมของรถยนต์ ตัวแปรที่จำเป็นสำหรับการคำนวณสถานะของเกียร์มี ตำแหน่งของคันเร่งเท้า ความเร็วรถยนต์ และความเร็รรอบเครื่อง ซึ่งสามารถดึงข้อมูลออกมาได้จากช่องโอปีตีทูน ค่าอัตราทดของกำลังส่ง (transmission ratios)[9] สามารถคำนวณได้จากสมการ $R = \frac{\omega_w}{\omega_e} = \frac{V60}{3.6r_w 2\pi rpm}$ โดย R คือ transmission ratios และ r_w คือรัศมีของล้อรถยนต์ สามารถนำค่ามาวาดกราฟได้ดังรูปที่ 4



รูปที่ 4 กราฟความสัมพันธ์ระหว่างอัตราทดต่อเวลา โดยเส้นสีแดงในรูปที่ 4 คือตำแหน่งเกียร์ของรถยนต์ จากการเก็บข้อมูล นำมาแสดงกราฟเปรียบเทียบดังรูปที่ 5 จะเห็นว่าข้อมูลทั้งสี่ตัวนั้นมีความสัมพันธ์สอดคล้องไปในทางเดียวกัน

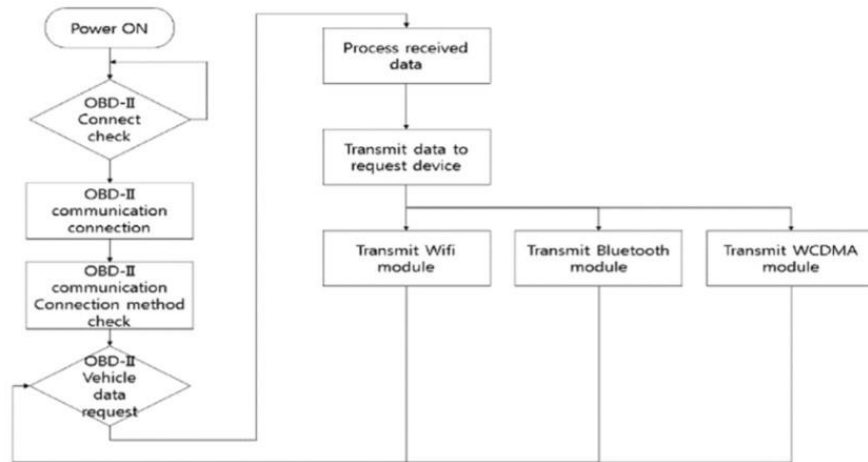


รูปที่ 5 กราฟแสดงความเร็วรอบเครื่อง ความเร็วรถยนต์ เพอร์เซ็นต์เหยียบคันเร่ง และเกียร์บนเวลาเดียวกัน

1.1.3 การสื่อสารไร้สาย

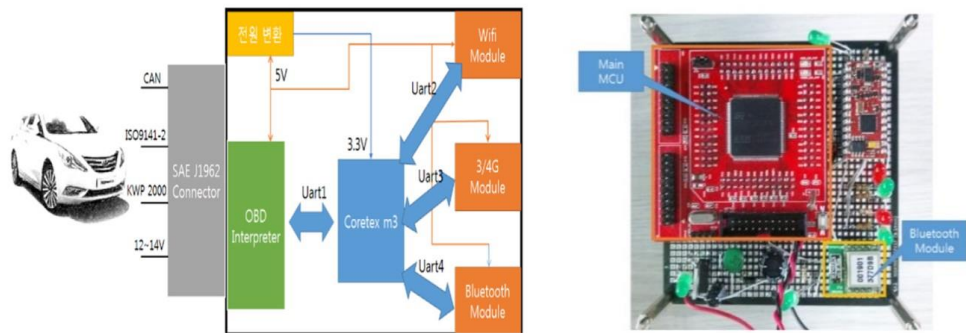
โอบีดีทูเป็นช่องทางการสื่อสารจากรถยนต์แบบใช้สาย เหมาะสำหรับการใช้งานในรูปแบบงานวิเคราะห์ย้อนหลัง แต่ปัจจุบันการรับรู้ถึงสถานะของรถยนต์แบบตามเวลาจริง (real time) มีความจำเป็นอย่างมากเพราะสามารถวิเคราะห์และคาดการณ์สถานการณ์ต่างๆได้ทันท่วงที เป็นเหตุให้ต้องมีการพัฒนาระบบการส่งข้อมูลแบบไร้สายเพื่อให้รับรู้ถึงสถานะของรถยนต์ตามเวลาจริง

การสื่อสารแบบไร้สายนั้นมีด้วยกันหลากหลายวิธีขึ้นกับการใช้งาน เช่น Bluetooth, Nb iot หรือ สัญญาณ 3G และ 4G จากการศึกษาบทความ Implementation of integrated OBD-II connector with external network[10] ได้ทำการออกแบบการสื่อสารไร้สายสำหรับดึงข้อมูลผ่านโอบีดีทูดัง รูปที่ 6 โดยเริ่มจาก เก็บข้อมูลที่ต้องการจากรถยนต์ จากนั้นตรวจสอบว่าในระบบต้องการทำการส่งข้อมูลด้วยวิธีทางใด โดยจะมีการสื่อสารออกสู่อุปกรณ์ภายนอก 3 ช่องทาง คือสื่อสารผ่านไวไฟ สื่อสารผ่านบลูทูธ และสื่อสารด้วยสัญญาณสามจี



รูปที่ 6 แผนผังการออกแบบโดยใช้การสื่อสารไร้สาย

จากการศึกษาได้ออกแบบระบบการสื่อสารไร้สายสามช่องทางดังนี้ สื่อสารผ่านทางบลูทูธ สำหรับการสื่อสารสู่มือถือในช่วงใกล้ สื่อสารผ่านทาง WIFI module และ WCDMA module สำหรับการสื่อสารไร้สายทางไกล หลังจากออกแบบระบบการสื่อสารทางไกลสำเร็จ จึงออกแบบอุปกรณ์สำหรับการใช้งาน โดยมีโครงร่างอุปกรณ์ดังรูปที่ 7 โดยใช้ตัวควบคุมเป็น STM32 coretex-3 เนื่องจากอุปกรณ์ที่ออกแบบนั้นเป็นอุปกรณ์ที่ใช้ภายนอกรถยนต์ทั้งหมด หากอุปกรณ์มีปัญหาหรือได้รับความเสียหายจากการใช้งาน ทางส่วนของรถยนต์จะไม่มี ความเสียหายตามตัวอุปกรณ์แต่อย่างใด



รูปที่ 7 ไดอะแกรม และ อุปกรณ์ต้นแบบสำหรับการส่งสัญญาณไร้สาย

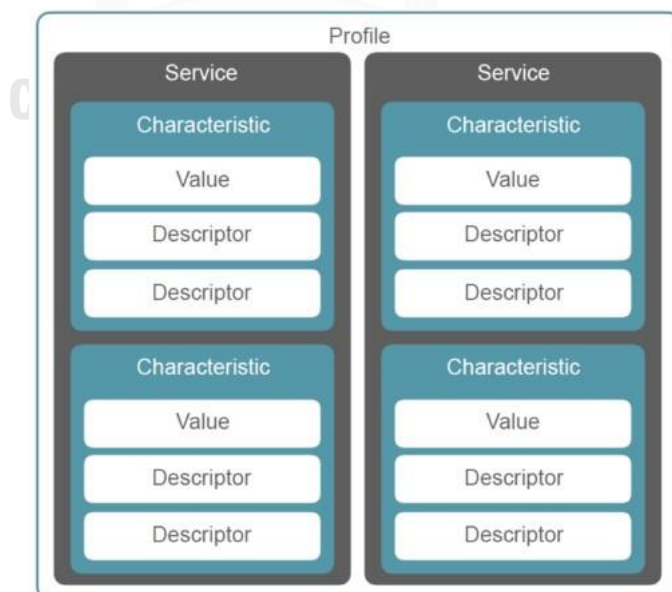
1.1.3.1 การสื่อสารด้วยบลูทูธพลังงานต่ำ

การสื่อสารกันระหว่างมือถือและอุปกรณ์ IOT แบบไร้สายนั้นมีด้วยกันหลากหลายรูปแบบ ขึ้นกับการนำไปใช้ประโยชน์ตามวัตถุประสงค์ Bluetooth Low Energy (BLE) คือการสื่อสารไร้สายประเภทหนึ่งที่เหมาะสมสำหรับอุปกรณ์ที่ต้องการประหยัดพลังงานและไม่จำเป็นต้องส่งข้อมูลในปริมาณมาก โดยจะมีองค์กรผู้กำหนดมาตรฐานคือ Bluetooth SIG มาตรฐานเครือข่าย IEEE 802.15.1[11]

ตารางที่ 1 รายละเอียดของการสื่อสารไร้สายประเภทบลูทูธ และ เอ็นเอฟซี

	บลูทูธ 2.1	บลูทูธพลังงานต่ำ	เอ็นเอฟซี
โหมด RFID	active	active	มาตรฐาน ISO 18000-3
องค์กรผู้กำหนดมาตรฐาน	Bluetooth SIG	Bluetooth SIG	ISO/IEC
มาตรฐานเครือข่าย	IEEE 802.15.1	IEEE 802.15.1	ISO 13157 เป็นต้น
ประเภทของเครือข่าย	WPAN	WPAN	Point-to-point
การเข้ารหัส	ใช้ได้	ใช้ได้	ใช้ไม่ได้กับ RFID
ระยะทาง	~ 30 เมตร (คลาส 2)	~50 เมตร	< 0.2 เมตร
ความถี่	2.4-2.5 GHz	2.4-2.5 GHz	13.56 MHz
อัตราการส่งข้อมูล	1-3 Mbit/s	~200 kbit/s	424 kbit/s
เวลาเริ่มต้นทำงาน	< 6 วินาที	< 0.003 วินาที	< 0.1 วินาที

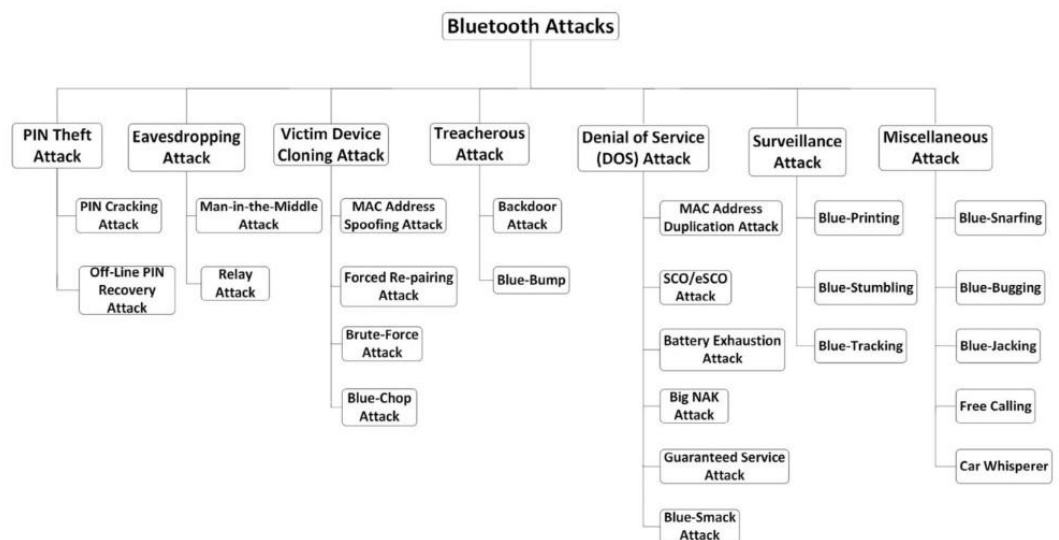
ในตัวอุปกรณ์ ESP32 จะมีชิปบลูทูธพลังงานต่ำอยู่ บลูทูธพลังงานต่ำจะมีรูปแบบการรับส่งข้อมูลที่แตกต่างกับบลูทูธทั่วไปโดยไม่จำเป็นต้องออกแบบโปรโตคอลเอง จะมีความยืดหยุ่นในการใช้งานมากกว่า การเชื่อมต่อบลูทูธพลังงานต่ำนั้นจะใช้รูปแบบการกำหนด Service ซึ่งในแต่ละ Service จะมีสิ่งที่เรียกว่า Characteristic ที่แตกต่างกันเปรียบเหมือนตัวลูกสำหรับการรับส่งข้อมูล ดังรูปที่ 8



รูปที่ 8 โครงสร้างทั่วไปของบลูทูธพลังงานต่ำ

โดยชั้น Profile นอกสุดจะเปรียบเสมือนเป็นชั้นส่วนของตัวอุปกรณ์ โดย ESP32 จะมีหมายเลข Mac Address ที่ต่างกันและไม่สามารถแก้ไขใดๆได้ ดังนั้นในการเชื่อมต่อระหว่างกันของบลูทูธพลังงานต่ำจะใช้หมายเลข Mac Address ในการอ้างอิงถึงอุปกรณ์ที่จะเชื่อมต่อด้วย ทั้งนี้ชั้น Profile สามารถกำหนดตัวชื่อของบลูทูธพลังงานต่ำเองได้ ลำดับต่อมาคือชั้น Service ในอุปกรณ์หนึ่งตัวสามารถสร้างชั้น Service ขึ้นมาได้หลายตัวขึ้นกับวัตถุประสงค์การใช้งาน โดยการสร้าง Service นั้นจะใช้การเข้ารหัสที่เรียกว่า Universally unique identifier (UUID) มักอยู่ในรูปของเลขฐานสิบหกจำนวนหนึ่งไบต์ ซึ่งในแต่ละการสร้าง Service นั้นรหัส UUID จะต้องไม่ซ้ำกัน ภายใต้ชั้น Service จากรูป จะเห็นว่าในแต่ละ Service สามารถมี Characteristic ได้หลายตัว ซึ่งการสร้างตัว Characteristic นั้นจะทำด้วยวิธีเดียวกันกับการสร้าง Service จะต้องสร้างรหัส UUID ที่ไม่ซ้ำกันกับชั้น Service และตัว Characteristic ตัวอื่น โดยการรับส่งข้อมูลแต่ละครั้ง จะทำการตรวจสอบรหัส UUID ของส่วน Characteristic ว่าตรงกับส่วนที่ต้องการสื่อสารหรือไม่ ภายในส่วนของ Characteristic นั้นจะสามารถบันทึกข้อมูลในรูปของ Value และ Descriptor อื่นๆได้

แม้ว่าการสื่อสารด้วยวิธีการบลูทูธจะแพร่หลายและได้รับการยอมรับมาโดยตลอด แต่รายงานด้านปัญหาของบลูทูธมักจะเกิดขึ้นบ่อยๆโดยเฉพาะการโดนโจมตีจากผู้ไม่หวังดี โดยจะสามารถแบ่งเป็นกลุ่มหลักๆได้ทั้งหมด 7 รูปแบบดังรูปที่ 9 ซึ่งการป้องกันการถูกโจมตีในแต่ละวิธีจะแตกต่างกันไป[12]

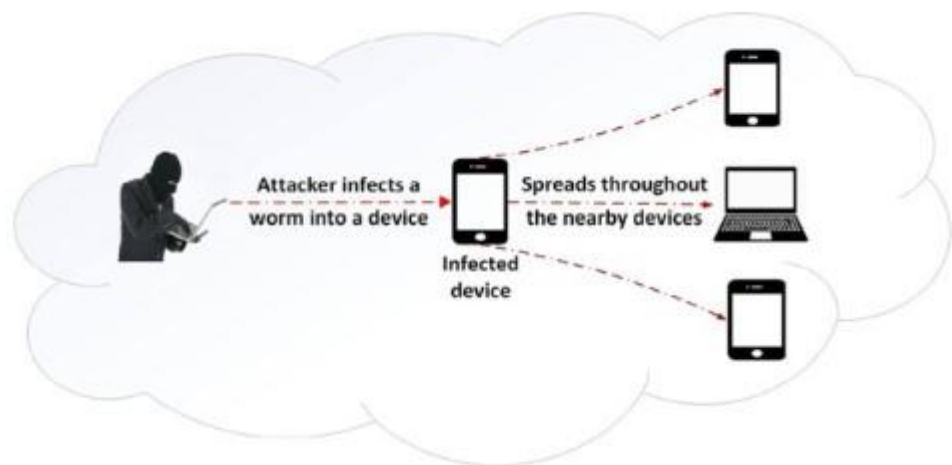


รูปที่ 9 วิธีการโจมตีทางบลูทูธเจ็ดรูปแบบ

ปัญหาอีกเรื่องที่ถูกพบเจอบ่อยๆคือมัลแวร์ (Malware) มัลแวร์คือ ซอฟต์แวร์ที่ถูกพัฒนาเพื่อโจมตีระบบต่างๆโดยเฉพาะ ซึ่งแต่ละมัลแวร์จะมีรูปแบบการโจมตีหรือก่อความที่ต่างกัน

รูปแบบแรกคือโทรจันเป็นมัลแวร์ประเภทหนึ่งที่ล่อลวงให้ผู้ใช้งานบลูทูธอนุญาตเข้าถึงฟังก์ชันต่างๆ และจะส่งข้อมูลกลับไปทางผู้ประสงค์ร้าย โดยโทรจันเป็นชื่อที่ได้รับมาจากม้าไม้ในสงครามเมืองทรอย ยกตัวอย่างโทรจัน เช่น Skull หากมีมือถือติดมัลแวร์ตัวนี้จะทำให้ไอคอนทุกอย่างบนมือถือถูกเปลี่ยนเป็นรูปหัวกะโหลก อีกทั้งไม่สามารถใช้งานโปรแกรมต่างๆได้ โดยมัลแวร์ตัวนี้ถูกแพร่กระจายอย่างกว้างขวางในปี 2006 ผ่านทางบลูทูธและ SMS

อีกรูปแบบคือ เวิร์มเป็นมัลแวร์ที่สามารถแพร่กระจายได้ด้วยตัวเอง โดยมันสามารถส่งต่อให้ผู้ที่อยู่ข้างเคียงได้ผ่านทางบลูทูธ มัลแวร์ตัวนี้มัลแวร์ตัวนี้พบเป็นอย่างมากในระบบปฏิบัติการ Symbian ยกตัวอย่างเวิร์มเช่น Comm-warrior หากมีมือถือหรือคอมพิวเตอร์ถูกติดมัลแวร์ตัวนี้จะไม่มีความรู้ตัวจนกระทั่งวันที่ 14 ของทุกเดือน เวิร์มจะทำลบข้อมูลทุกอย่างบนอุปกรณ์ อีกทั้งยังสามารถสร้างตัวเองซ่อนไว้ในเครื่องและส่งต่อเครื่องอื่นๆผ่านทางบลูทูธและ SMS ได้ดังรูปที่ 10

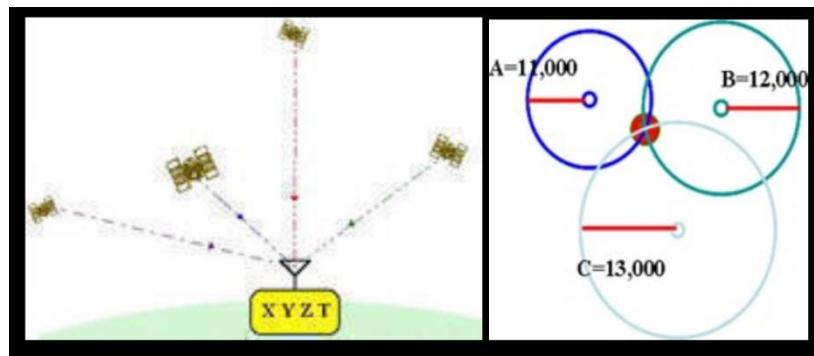


รูปที่ 10 แผนผังการโจมตีของเวิร์ม

1.1.4 การระบุตำแหน่งด้วยจีพีเอส

Global Positioning System (GPS) คือการระบุตำแหน่งของอุปกรณ์โดยพึ่งพาดาวเทียมทำงานโดยการรับสัญญาณจากดาวเทียมแต่ละดวง โดยสัญญาณดาวเทียมนี้ประกอบไปด้วยข้อมูลที่ระบุตำแหน่งและเวลาขณะส่งสัญญาณ ตัวเครื่องรับสัญญาณจีพีเอสจะต้องประมวลผลความแตกต่างของเวลาในการรับสัญญาณเทียบกับเวลาจริง ณ ปัจจุบันเพื่อแปรเป็นระยะทางระหว่างเครื่องรับ

สัญญาณกับดาวเทียมแต่ละดวง ซึ่งได้ระบุตำแหน่งของมันมากับสัญญาณดังกล่าวข้างต้น เพื่อให้เกิดความแม่นยำในการค้นหาตำแหน่งด้วยดาวเทียม ต้องมีดาวเทียมอย่างน้อย 4 ดวง เพื่อบอกตำแหน่งบนผิวโลก ซึ่งระยะห่างจากดาวเทียมทั้ง 3 กับเครื่องจีพีเอส(ที่จุดสีแดง) ดังรูปที่ 11 จะสามารถระบุตำแหน่งบนผิวโลกได้ หากพื้นโลกอยู่ในแนวระนาบแต่ในความเป็นจริงพื้นโลกมีความโค้งเนื่องจากสัญญาณของโลกมีลักษณะกลม ดังนั้นดาวเทียมดวงที่ 4 จะทำให้สามารถคำนวณเรื่องความสูงเพื่อทำให้ได้ตำแหน่งที่ถูกต้องมากขึ้น[13]



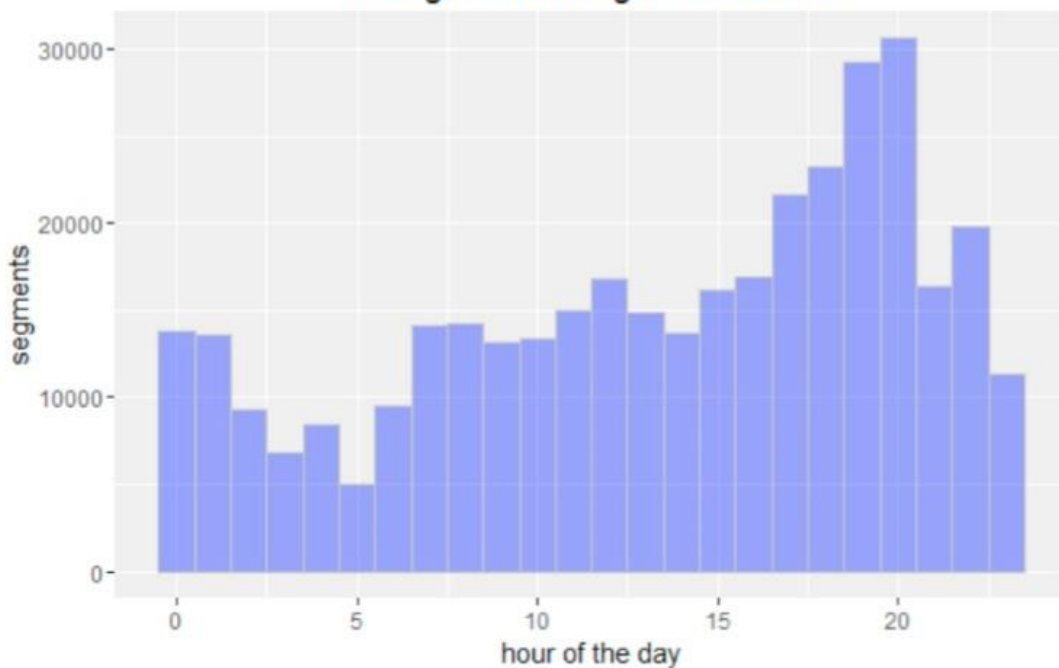
รูปที่ 11 หลักการทำงานของจีพีเอสอย่างง่าย

การนำตำแหน่งที่ได้รับจากจีพีเอสสามารถนำไปประยุกต์ใช้ได้หลากหลายมาก ไม่ว่าจะเป็นอุตสาหกรรมการขนส่ง อุตสาหกรรมโรงงาน หรืออุตสาหกรรมทางการแพทย์[14] ในเมือง ดาร์ เอส ซาลาม ประเทศแทนซาเนียได้ทำการสำรวจคนขับรถยนต์ไฮค์แทกซ์สองล้อและสามล้อเป็นจำนวนทั้งหมด 39 คน แบ่งพื้นที่การวิ่งเป็น 6 ส่วน โดยทำการติดเครื่องติดตามตำแหน่งผ่านจีพีเอสไปทั้งหมด 483 ชั่วโมง ดังตารางที่ 2 ผลทดสอบการวิ่งรถทั้ง 39 คน Segmentation คือจำนวนครั้งในการวิ่งของผู้ขับ โดยจะแบ่งแยก Segment เมื่อพบว่าตำแหน่งของผู้ขับอยู่ที่เดิมนานกว่า 120 วินาที เมื่อเก็บข้อมูลครบทั้งหมด ทำการทำความสะอาดข้อมูลโดยกรองข้อมูลที่ใช้ไม่ได้ออก จากนั้นนำข้อมูลที่ใช้ได้มาสร้างแผนภูมิดังรูปที่ 12 แผนภูมิการใช้รถตลอดวัน จะเห็นว่าช่วงที่มีการใช้รถมอเตอร์ไซด์แทกซ์จะเริ่มเพิ่มตั้งแต่เวลาหกโมงเช้า เพิ่มขึ้นเรื่อยๆจนสูงสุดในเวลาหนึ่งทุ่ม กราฟนี้ทำให้เห็นได้ชัดกว่าการสังเกตด้วยตาเปล่ามาก

ตารางที่ 2 ผลทดสอบการวิ่งรถทั้ง 39 คน

	Drivers	Valid	Segments
Mlimani City	10	9	547
Kimara Suka	7	6	238
Kigamboni	8	5	120
Mikocheni	3	2	88
Sinza	3	2	89
Kimara Stopover	7	4	73
Free flow	1	1	33
Total	39	29	1188
Two-wheelers			431
Three-wheelers			757

Histogram showing demand load



รูปที่ 12 แผนภูมิการใช้รถตลอดวัน

1.1.5 Firebase database

ระบบการทำงานของอุปกรณ์ IOT นั้น จำเป็นต้องมีส่วนส่งข้อมูล และส่วนรับข้อมูล อุปกรณ์ที่ทำหน้าที่สำหรับส่งข้อมูลนั้นจะถูกติดตั้งภายในรถยนต์เพื่อดึงค่าสถานะต่างๆออกมา จากนั้นจะส่ง

ข้อมูลผ่านเครือข่ายอินเทอร์เน็ตและเก็บข้อมูลเหล่านั้นไว้ในเซิร์ฟเวอร์ดังนั้นการเลือกเซิร์ฟเวอร์ที่เหมาะสมกับการใช้งานนั้นเป็นสิ่งที่จำเป็น

Firebase เป็น Platform จาก Google ที่มีความสามารถหลากหลายมาก สามารถนำไปประยุกต์ใช้กับงานได้หลากหลายรูปแบบ Firebase มีผลิตภัณฑ์ทั้งหมดถึง 18 อย่างและแบ่งออกเป็น 3 หมวดหมู่ ดังนี้ [15]

1.1.5.1 ส่งเสริมให้แอปพลิเคชันดียิ่งขึ้น

1.1.5.1.1. Realtime Database คือบริการฐานข้อมูล NoSQL ใช้วิธีการเก็บข้อมูลเป็น JSON Tree ขนาดใหญ่ และสามารถเชื่อมต่อสถานะข้ามไคลแอนท์ได้แบบ Realtime กล่าวคือ หากเชื่อมต่อฐานข้อมูลเดียวกัน 2 ที่ เมื่อใดที่ที่หนึ่งมีการอัปเดตข้อมูล อีกที่หนึ่งก็จะมีการอัปเดตข้อมูลให้เหมือนกันโดยอัตโนมัติ และสามารถทำงานแบบออฟไลน์ได้บนแอปพลิเคชันทั้ง Android และ iOS

1.1.5.1.2. Authentication คือบริการตรวจสอบผู้ใช้ โดยสามารถตรวจสอบได้หลายวิธี เช่น Email/Password, เบอร์โทรศัพท์, บัญชี Google, Facebook, Twitter, Github เป็นต้น มีฐานข้อมูลเป็นของตนเองไม่ต้องสร้างใหม่หรือออกแบบวิธีการเก็บซึ่ง สามารถดูได้ว่าสมัครด้วยวิธีไหน สมัครเมื่อไหร่ และเข้าใช้ระบบครั้งล่าสุดเมื่อไหร่

1.1.5.1.3. Hosting คือบริการฝากไฟล์เช่น HTML, CSS, JS, JPG เพื่อให้ผู้ใช้อื่น เข้าใช้งานเว็บของเราได้ นิยมใช้ในการฝากไฟล์ที่ได้จากการ Build ของ JavaScript Framework ต่าง ๆ เช่น Angular, React, Vue สังเกตว่าจะได้ไฟล์ HTML, CSS, JS ไม่จำเป็นต้องใช้ Framework ก็ได้เหมือนกัน อีกทั้งมีบริการ CDN และ SSL เพื่อให้ผู้ใช้ได้รับประสบการณ์การใช้งานที่ปลอดภัย เชื่อถือได้และไม่มีค่าเช่าแม้ว่าจะอยู่ที่ไหนก็ตาม โดยทุกเว็บมี Domain Name ของ Firebase ให้อัตโนมัติ

1.1.5.1.4. Cloud Functions คือบริการสำหรับ Deploy Function ที่พัฒนาด้วย JavaScript หรือ TypeScript เพื่อทำงานตาม Trigger ที่เกิดขึ้นบน Firebase

1.1.5.1.5. Cloud Storage คือบริการเก็บไฟล์รูปภาพ ไฟล์เสียง และวิดีโอ เพื่อใช้บนแอปพลิเคชันเช่น รูปภาพประจำตัวสมาชิกและวิดีโอสอนการใช้งาน โปรแกรม เป็นต้น

1.1.5.1.6. Cloud Firestore (Beta) คือ Realtime Database รุ่นใหม่มาพร้อมการค้นหาและการปรับขนาดอัตโนมัติที่มีประสิทธิภาพมากขึ้น ปรับปรุงวิธีการเก็บข้อมูลใหม่เป็น Collections และสามารถทำงานแบบออฟไลน์บนเว็บไซต์ได้เช่นกัน

1.1.5.1.7. ML Kit (Beta) คือ Machine Learning SDK ที่ช่วยให้แอปพลิเคชันมือถือสามารถใช้ความสามารถของ ML ได้ง่ายขึ้น สามารถทำงานได้ทั้งแบบออนไลน์และออฟไลน์

1.1.5.2 ส่งเสริมคุณภาพของแอปพลิเคชัน

1.1.5.2.1. Crashlytics คือบริการตรวจจับและแจ้งเตือนหากแอปพลิเคชันเกิดอาการ Crash ขึ้นแบบ Realtime เพื่อให้แอปพลิเคชันเสถียรอยู่เสมอ โดยจะทำการแจ้งให้ทราบถึงข้อผิดพลาดและผลกระทบ ผ่านทาง E-mail และ Firebase Console เพื่อการแก้ปัญหาที่รวดเร็วและตรงจุด

1.1.5.2.2. Performance Monitoring คือบริการตรวจสอบคุณภาพของแอปพลิเคชัน เพื่อให้แอปพลิเคชันตอบสนองได้เร็วอยู่เสมอ โดยสามารถตรวจสอบเวลาและรายละเอียดการทำงานต่างๆได้ เช่น เวลาที่ใช้ในการเปิดแอปพลิเคชัน เวลาที่ใช้การเปลี่ยนหน้าการใช้งาน และขนาดข้อมูลที่ดาวน์โหลด

1.1.5.2.3. Test Lab คือบริการทดสอบแอปพลิเคชันบนฮาร์ดแวร์จริง ๆ เพื่อให้มั่นใจว่าแอปพลิเคชันสามารถรองรับฮาร์ดแวร์ที่ต้องการได้จริง โดยสามารถระบุรุ่นและเวอร์ชันที่ต้องการได้ แล้วระบุรูปแบบการทดสอบต่างๆ เพื่อทดสอบและรายงานผลกลับมา โดยไม่จำเป็นต้องมีชื่อโทรศัพท์จริง

1.1.5.3. ตอบโจทย์ต่อการพัฒนาธุรกิจ

1.1.5.3.1. In-App Messaging คือบริการแสดงข้อความป๊อปอัพ (popup) ภายในแอปพลิเคชัน เช่น โฆษณา การแจ้งเตือน หรือข่าวสาร

1.1.5.3.2. Google Analytics คือบริการแสดงข้อมูลสถิติต่างๆ ของแอปพลิเคชัน เช่น มือถือทำงานด้วยระบบปฏิบัติการอะไร จำนวนเท่าไร มีผู้ใช้งาน ณ ปัจจุบันกี่คน หรือใช้งานส่วนไหนบ้างเป็นต้น เพื่อวิเคราะห์กลุ่มเป้าหมาย หรือรับทราบพฤติกรรมของผู้ใช้งานต่างๆ

1.1.5.3.3. Predictions คือบริการวิเคราะห์ข้อมูลการใช้งานแอปพลิเคชัน ช่วยให้รู้ว่าผู้ใช้ใช้งานส่วนใดบ้างในแอปพลิเคชัน ช่วยให้รู้ว่าส่วนใดตอบสนองได้ดี ส่วนใดควรปรับปรุง หรืออาจต้องการที่จะหยุดพฤติกรรมในอนาคตของผู้ใช้งานแอปพลิเคชัน เพื่อวางแผนกลยุทธ์ที่รุกและรับ รวมทั้งสร้างประสบการณ์ที่น่าประทับใจให้กับผู้ใช้

1.1.5.3.4. Cloud Messaging คือบริการส่งการแจ้งเตือนไปยังมือถือหรือเว็บของเรา เพื่อแจ้งข้อความไปยังผู้ใช้แม้ว่าจะปิดแอปไปแล้วก็เช่น การแจ้งเตือนจาก facebook line หรือ instagram เป็นต้น

1.1.5.3.5. Remote Config คือความสามารถที่จะเปลี่ยนลักษณะการทำงานและลักษณะที่ปรากฏของแอปพลิเคชันได้ทันทีจากหน้าเว็บ Firebase โดยไม่ต้องรอการอนุมัติจาก App Store

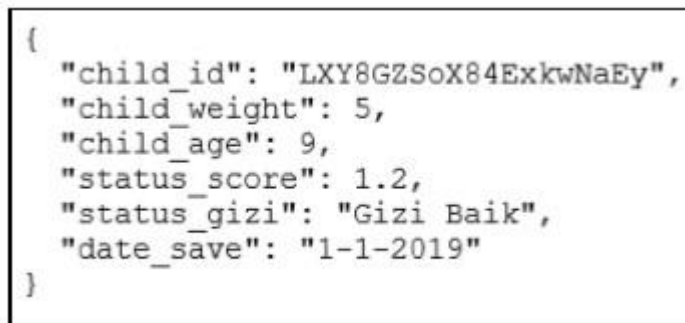
1.1.5.3.6. Dynamic Links คือลิงค์การเชื่อมโยงไปยังแอปพลิเคชันมือถือใช้สำหรับแสดงบนหน้าเว็บเพื่อให้ผู้ใช้งานติดตั้งแอปพลิเคชันมือถือผ่านลิงค์นี้ อีกทั้งยังสามารถแนบข้อมูลต่างๆของผู้ใช้ที่อยู่บนเว็บไซต์ได้

1.1.5.3.7. App Indexing คือการปรับแต่งแอปพลิเคชันให้แสดงผลข้อมูลภายในแอปพลิเคชันบน Google Search ได้เช่น ค้นซื้อร้านอาหารแล้วปรากฏแอปพลิเคชันวงใน (Wong Nai) ขึ้นมาให้ดูรายละเอียดและรีวิว เป็นต้น

1.1.5.3.8. A/B Testing (Beta) คือความสามารถในการแสดงผลแอปพลิเคชันหลายรูปแบบเพื่อทดสอบการแสดงผลหรือการทำงาน ว่าสิ่งไหนจะมอบประสบการณ์การใช้งานที่ดีกว่าให้แก่ผู้ใช้งาน เช่น การวางปุ่มกดแบบไหนที่ผู้ใช้งานใช้สะดวก สมมุติว่ามีผู้ใช้งาน 100 คน อาจจะมี 50 คนได้ปุ่มที่อยู่มุมบน อีก 50 คน

ได้ป้อนข้อมูลแล้ว หากว่ามีการใช้งานแบบไหนมากกว่ากันก็อาจจะสรุปผลและเลือกใช้แบบนั้นกับทุกคนในท้ายที่สุด

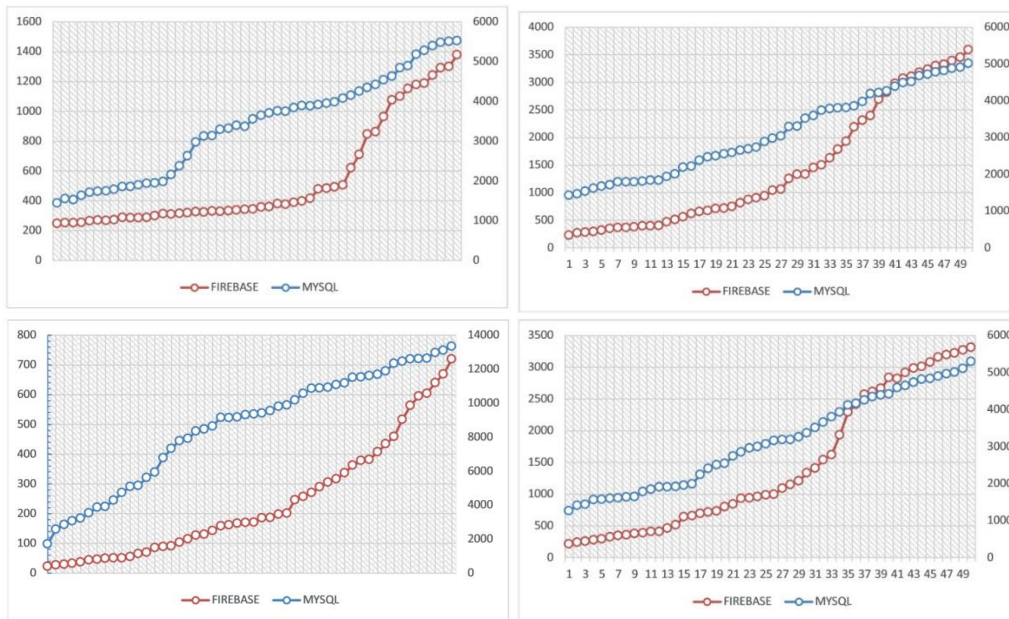
เปรียบเทียบศักยภาพการทำงานระหว่าง Firebase Realtime Database กับ MySQL Database ด้วยวิธี CRUD operation[16] เนื่องจากความต้องการของระบบติดตามรถยนต์นั้นจำเป็นต้องปรับข้อมูลให้เป็นปัจจุบันมากที่สุด ดังนั้นเซิร์ฟเวอร์ที่ใช้ในระบบจะต้องสามารถทำงานแบบ Realtime ได้ CRUD operation คือการทดสอบระบบ 4 รูปแบบโดย C = Create คือทดสอบการสร้างข้อมูลในระบบ R = Read คือทดสอบการเข้าถึงข้อมูลในระบบ U = Update คือทดสอบการปรับปรุงข้อมูลในระบบ และ D = Delete คือทดสอบการลบข้อมูลออกจากระบบ โดยข้อมูลแต่ละชุดนั้นจะถูกจำลองให้มีหน้าตาดัง รูปที่ 13



```
{
  "child_id": "LXY8GZSoX84ExkwNaEy",
  "child_weight": 5,
  "child_age": 9,
  "status_score": 1.2,
  "status_gizi": "Gizi Baik",
  "date_save": "1-1-2019"
}
```

รูปที่ 13 ตัวอย่างข้อมูลที่ใช้ในการทดสอบ

ซึ่งการทดสอบแต่ละครั้งนั้นจะทำการทดสอบกับข้อมูลทั้งหมด 50 ชุด โดยข้อมูลชุดละ 3000 ข้อมูล จากการทดลองทั้ง 4 แบบ สามารถสรุปได้ว่า Firebase Realtime Database สามารถทำงานได้เร็วกว่า MySQL database ดังรูปที่ 14 โดยแกนนอนคือจำนวนข้อมูลทั้ง 50 ชุด แกนตั้งทางซ้ายคือระยะเวลาทำงานของ Firebase database แกนตั้งทางขวาคือระยะเวลาทำงานของ MySQL database



รูปที่ 14 กราฟการเปรียบเทียบระหว่าง Firebase และ MySQL ด้วยวิธี CRUD

1.2 วัตถุประสงค์ของงานวิจัย

1.2.1 เพื่อพัฒนาระบบติดตามสถานะของรถยนต์สำหรับธุรกิจรถเช่า

1.2.2 เพื่อออกแบบอุปกรณ์สำหรับติดตั้งภายในรถยนต์และรองรับกับโมบายแอปพลิเคชันในอนาคต

1.3 ขอบเขตของงานวิจัย

1.3.1 พัฒนาอุปกรณ์ที่ใช้ร่วมกับรถยนต์ Toyota altis 2016

1.3.2 ใช้โปรแกรม Arduino ide สำหรับการเขียนโปรแกรม

1.4 ระเบียบขั้นตอนของงานวิจัย

1.4.1 ทหาร่วมกับบริษัทรถเช่าเพื่อหาฟังก์ชันที่จำเป็นของอุปกรณ์

1.4.2 ศึกษาระบบติดตามรถยนต์ที่มีอยู่แล้วในท้องตลาดทั้งภายในประเทศและต่างประเทศ

1.4.3 ศึกษางาน วิจัย บทความทางวิชาการที่เกี่ยวข้องกับธุรกิจรถเช่าและอุปกรณ์ที่จำเป็น

1.4.4 ออกแบบอุปกรณ์สำหรับติดตั้งภายในรถยนต์และระบบที่สามารถประมวลผลออนไลน์ได้

1.4.5 สร้างอุปกรณ์จำลองและส่งให้บริษัทรถเช่าเพื่อทำการทดลองโดยการใช้งานจริง

1.4.6 สรุปผลงานวิจัยและหาข้อเสนอแนะ

1.4.7 จัดทำรูปเล่มวิทยานิพนธ์

1.5 ประโยชน์ที่คาดว่าจะได้รับ

งานวิจัยนี้เป็นการศึกษาและออกแบบอุปกรณ์ใหม่เพื่อติดตามสถานะของรถยนต์ โดยระบบติดตามจะต้องมีความสามารถที่มากกว่าระบบในท้องตลาดและสามารถนำไปใช้ได้จริงในธุรกิจรถเช่า



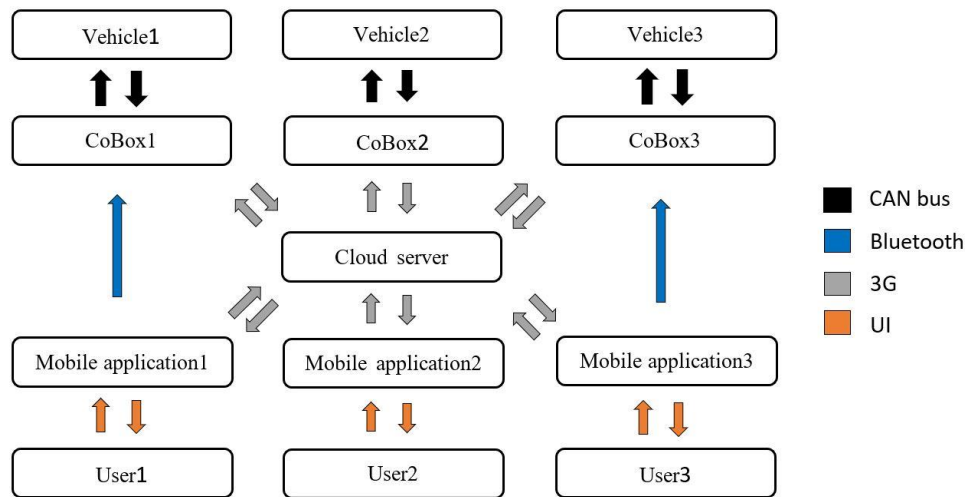
บทที่ 2

ระเบียบวิธีดำเนินงาน

ในบทนี้จะเล่าถึงการออกแบบอย่างละเอียด โดยจะแยกหัวข้อหลักออกเป็นสามส่วนคือส่วนการออกแบบระบบการทำงานของอุปกรณ์ติดตามรถยนต์ และส่วนต่อมาการออกแบบตัวอุปกรณ์ที่ต้องการติดตั้งไปในรถยนต์ หลังจากนั้นจะเรียกอุปกรณ์นี้ว่า CoBox และส่วนสุดท้ายคือการเขียนโปรแกรมสำหรับการทำงานภายในกล่อง CoBox

2.1 ออกแบบระบบ

จากกระบวนการศึกษาความต้องการของระบบ และศึกษาวรรณกรรมย้อนหลัง จึงได้ทำการออกแบบระบบติดตามสถานะของรถยนต์ได้ดังรูปที่ 15 โดยมีส่วนประกอบหลัก 5 ส่วนด้วยกันคือรถยนต์ อุปกรณ์ติดตาม คลาวด์เซิร์ฟเวอร์ แอปพลิเคชันบนมือถือ และผู้ใช้งาน



CHULALONGKORN UNIVERSITY

รูปที่ 15 แผนผังการทำงานของระบบติดตามรถยนต์

รถยนต์ในปัจจุบันนั้นจะใช้มาตรฐานร่วมกันสำหรับการเตรียมข้อมูลในโอบีดีทูซึ่งรถแต่ละยี่ห้อจะมีรหัสสำหรับการเข้าถึงค่าจากเซนเซอร์แต่ต่างกัน แต่รถภายในรุ่นเดียวกันจะใช้รหัสที่ใกล้เคียงกัน จากการศึกษาวรรณกรรม[7] เราจะทำการดึงข้อมูลออกจากช่องโอบีดีทู โดยการดึงสัญญาณจากช่อง CAN BUS ข้อมูลทั้งหมดจากเซนเซอร์ในรถยนต์จะเข้าสู่อุปกรณ์ที่ถูกติดตั้ง จากนั้นทำการถอดรหัสข้อมูลเหล่านั้นว่าเป็นข้อมูลที่จำเป็นต่อระบบติดตามสถานะรถยนต์หรือไม่ กรองข้อมูลที่ไม่สำคัญออกและเก็บไว้เฉพาะข้อมูลที่จำเป็น ภายในอุปกรณ์ CoBox จะมีการวิเคราะห์ข้อมูลเบื้องต้น และจะทำการรับส่งชุดข้อมูลออกไปสู่เซิร์ฟเวอร์ เพื่อเก็บข้อมูลต่อไป

คลาวด์เซิร์ฟเวอร์สำหรับระบบติดตามรถยนต์นั้นเป็นอีกหนึ่งส่วนประกอบที่สำคัญมาก หากขาดส่วนนี้ไป ผู้ใช้งานจะไม่สามารถใช้งานระบบติดตามสถานะรถยนต์ได้ เซิร์ฟเวอร์ทำหน้าที่เก็บข้อมูลจำนวนมหาศาลที่ถูกส่งมาจาก CoBox หลายๆตัวเก็บมารวมไว้ทีเดียว ระบบติดตามรถยนต์นั้นจะใช้ Firebase real-time database เป็นเซิร์ฟเวอร์[16] ซึ่งเซิร์ฟเวอร์สามารถทำงานแบบ real-time ได้อีก ทั้งโครงสร้างยังเหมาะสำหรับการพัฒนาแอปพลิเคชันต่อไป นอกจากนี้เซิร์ฟเวอร์จะทำหน้าที่รับส่งข้อมูลจำนวนมากกับ CoBox แล้ว เซิร์ฟเวอร์จะต้องทำหน้าที่รับส่งข้อมูลต่อไปยังแอปพลิเคชันบนมือถือในเวลาเดียวกันด้วย

แอปพลิเคชันบนมือถือนั้นถือเป็นหน้าต่างหลักของระบบเพราะเป็นเพียงส่วนเดียวที่ผู้ใช้งานระบบนี้จะสัมผัส โดยแอปพลิเคชันนี้จะทำหน้าที่เป็นตัวกลางการสื่อสารระหว่างผู้ใช้และรถยนต์ โดยผู้ใช้นั้นจะสามารถมองเห็นสถานะของรถยนต์ผ่านทางแอปพลิเคชันบนมือถือได้ด้วยการเชื่อมต่อผ่านอินเทอร์เน็ต อีกทั้งสามารถสั่งคำสั่งเปิด-ปิดล็อคประตูรถยนต์อีกด้วย

2.2 ออกแบบอุปกรณ์ต้นแบบ

อุปกรณ์ IOT สำหรับติดตั้งภายในรถยนต์นั้นถือเป็นหัวใจสำคัญหลักของระบบติดตามรถยนต์หน้าที่สำคัญของอุปกรณ์ตัวนี้จะต้องสามารถดึงข้อมูลจากรถยนต์ผ่านทางช่องแคนบัส (CAN BUS) รับสัญญาณตำแหน่งจากโมดูลจีพีเอสรับส่งข้อมูลผ่านทางอินเทอร์เน็ตเพื่อสื่อสารกับคลาวด์เซิร์ฟเวอร์ และรับข้อมูลคำสั่งจากแอปพลิเคชันบนมือถือผ่านทางบลูทูธ

ในส่วนรับข้อมูลจากรถยนต์ผ่านสัญญาณแคนบัสเลือกใช้ MCP2515 ดังรูปที่ 16.ก เป็นตัวรับส่งข้อมูล โดยตัวโมดูลจะรับข้อมูลแคนบัสออกจากรถยนต์ที่ความเร็ว 1000 Kbps เมื่อข้อมูลเข้าสู่ตัวโมดูลแล้ว ตัวโมดูลจะแปลงสัญญาณข้อมูลแล้วส่งให้กับทางตัวควบคุมเป็นสัญญาณ SPI(Serial Peripheral Interface) โดยจะส่งสัญญาณเป็น 4 ช่อง คือ SCK ใช้สำหรับส่งสัญญาณนาฬิกา MISO (ย่อมาจาก Master In Slave Out) ใช้สำหรับรับข้อมูลจาก Slave MOSI (ย่อมาจาก Master Out Slave In) ใช้สำหรับส่งข้อมูลจาก Master ไปยัง Slave และสุดท้าย SS/CS (ย่อมาจาก Slave Select/Chip Select) ใช้สำหรับเลือก Slave ที่ต้องการใช้งาน

ในส่วนรับส่งข้อมูลตำแหน่งของอุปกรณ์เลือกใช้โมดูลจีพีเอส Quectel L86 ดังรูปที่ 16.ข โดยโมดูลจะทำหน้าที่รับสัญญาณตำแหน่งจากดาวเทียมเป็นพิกัดละติจูดและลองจิจูด โดยภายในโมดูลจะต้องมีถ่านสำหรับเลี้ยงระบบให้รับสัญญาณตำแหน่งจากดาวเทียมได้ตลอดเวลา จากนั้นจะทำการส่งสัญญาณตำแหน่งให้ตัวควบคุมเป็นสัญญาณซีเรียล(Serial) ข้อเสียของโมดูลจีพีเอสโดยทั่วไป

คือไม่สามารถรับสัญญาณตำแหน่งได้ในจุดอับสัญญาณหรือจุดที่มีสัญญาณอ่อน นั่นคือเมื่อทำการติดตั้งโมดูลจีพีเอสภายในรถยนต์ อาจทำให้สัญญาณตำแหน่งส่งมาถึงได้ยากขึ้น จึงต้องติดตั้งสัญญาณออกภายนอกเพื่อให้รับสัญญาณได้ชัดยิ่งขึ้น ดังรูปที่ 16.ค

อีกหนึ่งหน้าที่สำคัญของอุปกรณ์คือการสื่อสารระหว่างอินเทอร์เน็ต เลือกใช้โมดูลสามจี Quectel UC15 ดังรูปที่ 16.ง สามจีโมดูลตัวนี้จะใช้ AT command ในการสื่อสาร โดยจะสื่อสารกับตัวควบคุมโดยใช้ Serial โดยสามจีโมดูลนี้จะทำหน้าที่เป็นตัวกลางการสื่อสารระหว่างตัวควบคุม และ Fire base database โดยในการส่งข้อมูลขึ้นเซิร์ฟเวอร์จะใช้คำสั่ง PUT หรือ PUSH ส่วนรับข้อมูลจากเซิร์ฟเวอร์จะใช้คำสั่ง GET และหากต้องการลบข้อมูลออกจากเซิร์ฟเวอร์จะใช้คำสั่ง DELETE ในที่นี้จะใช้ซิมเติมเงินของทรูในการรับสัญญาณสามจี



รูปที่ 16.ก MCP2515



รูปที่ 16.ข โมดูลจีพีเอส



รูปที่ 16.ค เสาอากาศสำหรับจีพีเอส



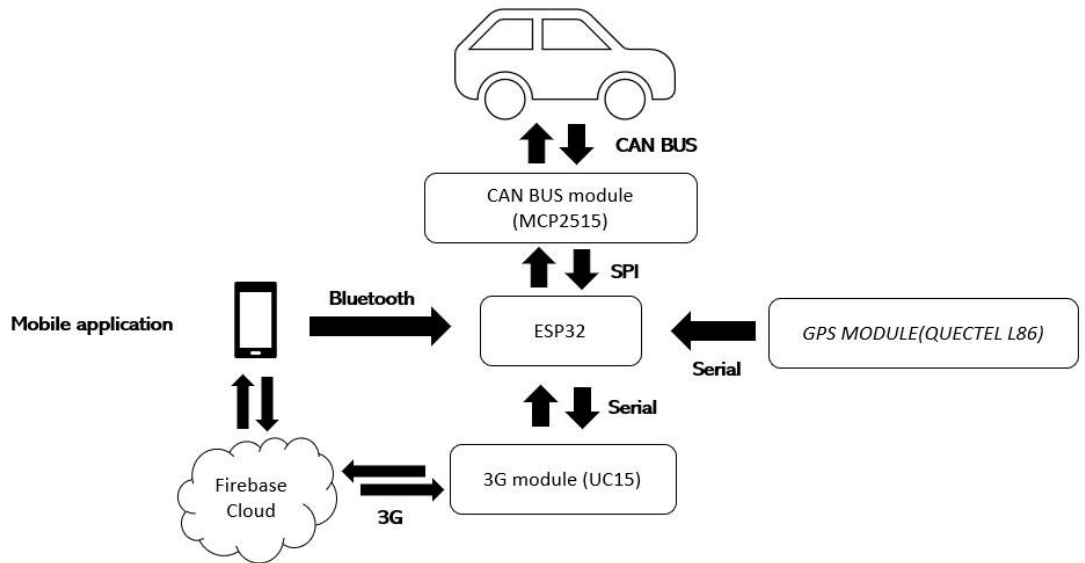
รูปที่ 16.ง สามจีโมดูล



รูปที่ 16.จ ESP32

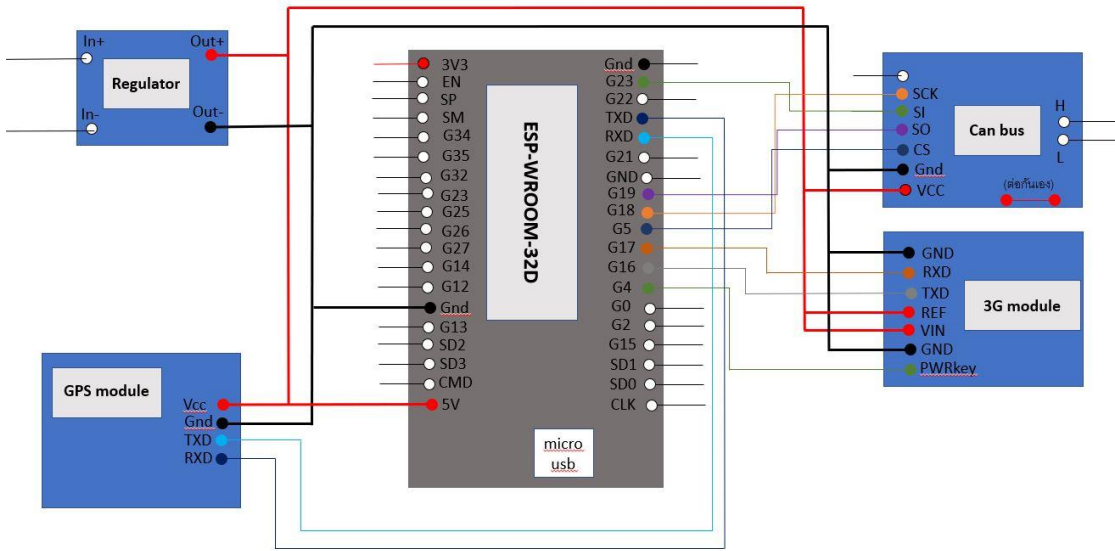
จพารูปที่ 16 โมดูลภายในกล่องต้นแบบ

ตัวควบคุมเป็นเหมือนสมองของระบบ คอยสั่งการการทำงานให้แก่โมดูลต่างๆที่เชื่อมต่อหากัน โดยเลือกใช้ ESP32 เป็นตัวควบคุมดังรูปที่ 16.จ มีหน้าที่หลัก 5 หน้าที่ 1. กรองข้อมูลจากโมดูลแคนบัส ข้อมูลที่ต้องใช้จากรถยนต์คือ ความเร็วรถยนต์ ความเร็วรอบเครื่อง ระดับน้ำมัน และเลขไมล์ โดยทั่วไปข้อมูลทั้งหมดจะถูกส่งผ่านโมดูลแคนบัส ดังนั้นการกรองข้อมูลที่ไม่จำเป็นออกจึงเป็นหน้าที่สำคัญ 2. รับข้อมูลตำแหน่งจากโมดูลจีพีเอส 3. ถอดรหัส CAN ID ให้เป็นข้อมูลที่สามารถเข้าใจได้โดยง่าย และรวบรวมข้อมูลที่ต้องใช้มาจัดรวมเป็นข้อมูลหนึ่งชุด 4. รับส่งข้อมูลกับสามจีโมดูลโดยใช้ AT command สั่งการผ่านทางช่องซีเรียล 5. รับข้อมูลจากแอปพลิเคชันมือถือผ่านทางบลูทูธ โดยใช้บลูทูธพลังงานต่ำภายใน บอร์ดESP32 โดยแผนผังการทำงานของตัวอุปกรณ์มีดังรูปที่ 17



รูปที่ 17 แผนผังการทำงานของแต่ละโมดูลภายในอุปกรณ์ต้นแบบ

หลังจากศึกษาการใช้งานอุปกรณ์ภายใน CoBox จึงเริ่มทำการประกอบชิ้นส่วนเข้าด้วยกัน เนื่องจากไฟเลี้ยงภายในรถยนต์จะมีแรงดันอยู่ในช่วง 11-14 v โดยปกติจะอยู่ที่ประมาณ 12 v จึงต้องมีตัวปรับแรงดันลงให้อยู่ในระดับใช้งานซึ่งในที่นี้จะปรับลงมาให้เหลือที่แรงดัน 5 v โดยไฟที่ออกจากตัวปรับแรงดันนี้จะเป็นไฟเลี้ยงสำหรับการทำงานของทุกโมดูลใน CoBox โดยเชื่อมต่อขา Out+ และ Out- ของตัวปรับแรงดันเข้ากับขา Vcc และ Gnd ของทุกโมดูลตามลำดับ หลังจากนั้นเริ่มต้นประกอบจากประกอบโมดูลแคนบัส(MCP2515) เข้ากับบอร์ด ESP32 อุปกรณ์สองชิ้นนี้สื่อสารผ่านทาง SPI ซึ่งจะต้องทำการเชื่อมต่อกันสี่เส้น ต่อสายสัญญาณเวลา (SCK) เข้ากับขาที่18 ของESP32 ต่อสาย MOSI เข้ากับขาที่23 ของบอร์ด ESP32 ต่อสาย MISO เข้ากับขาที่19 ของ ESP32 ต่อสาย CS เข้ากับขาที่5 ของ ESP32 ซึ่งจะต้องตั้งค่าอีกครั้งในส่วนการเขียนโปรแกรม ต่อไปทำการเชื่อมต่อกับโมดูลสามจีซี15 กับบอร์ด ESP32 เริ่มจากต่อสายสัญญาณซีเรียล RXD และ TXD เข้ากับขาที่17 และ 16 ของESP32 ซึ่งจะต้องตั้งค่าอีกครั้งในส่วนของการเขียนโปรแกรม ส่วนขา REF จะต่อกับขา 5v ของESP32 ส่วนขาสุดท้าย PWRkey คือขาสำหรับสั่งเปิด-ปิดการทำงานของโมดูลสามจี จะทำการต่อกับขาที่4 ของ ESP32 สุดท้ายทำการประกอบโมดูลจีพีเอสกับบอร์ด ESP32 โดยต่อสัญญาณซีเรียล TXD และ RXD ของโมดูลจีพีเอสกับขา RXD และ TXD ของบอร์ด ESP32 ตามลำดับดังรูปที่



รูปที่ 18 แผนผังการเชื่อมต่อโมดูลภายใน CoBox

2.3 เขียนโปรแกรมสำหรับการทำงานของกล่อง CoBox

การเขียนเฟิร์มแวร์สำหรับการทำงานนั้นมีปัจจัยมากมายที่ต้องคำนึง การที่จะทำให้กล่องสามารถทำงานได้ตามที่ต้องการนั้นควรเริ่มจากการออกแบบผังการทำงานของโปรแกรม เพื่อให้เห็นภาพชัดและไม่เกิดการซ้อนทับกันระหว่างทำงาน หลังจากหารือกับทางบริษัทรถเช่าและอาจารย์ผู้เชี่ยวชาญ การทำงานของกล่องจะแสดงให้เห็นชัดดังนี้

2.3.1 แผนผังการทำงานของโปรแกรม

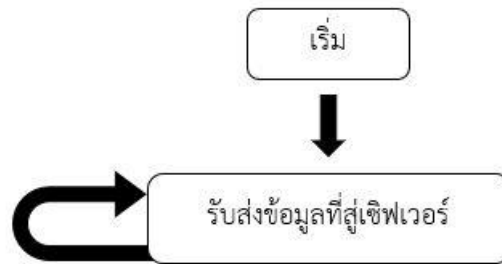
เนื่องจากระบบการทำงานของกล่อง CoBox นั้นจะค่อนข้างซับซ้อน จึงเลือกที่จะแยกการทำงานออกเป็นสองส่วน โดยส่วนแรกจะเน้นไปที่การทำงานฝั่งรับและวิเคราะห์ข้อมูลที่ได้มารถยนต์ และอีกส่วนจะเป็นส่วนที่รับส่งข้อมูลผ่านทางสัญญาณสามจี

2.3.1.1 ส่วนแรกเป็นส่วนโปรแกรมที่รับข้อมูล โดยเมื่อเข้าสู่วงวนทำงาน จะเริ่มจากการตั้งค่าการทำงานของบลูทูธพลังงานต่ำในบอร์ด ESP32 จากนั้นเขียนโปรแกรมเช็คข้อมูลตำแหน่งจากโมดูลจีพีเอส หากรับข้อมูลตำแหน่งได้จะทำการบันทึกข้อมูลลงไปในตัวแปรโดยจะรับเป็นค่าละจิจูดและลองจิจูด หลังจากนั้นจะทำการรับข้อมูลจากโมดูลแคนบัส เมื่อเขียนส่วนรับข้อมูลจากทั้งสองโมดูลแล้วจึงนำข้อมูลมากรองและวิเคราะห์ข้อมูลเบื้องต้น ทั้งหมดนี้จบในส่วนของการรับข้อมูลจากรถยนต์ สุดท้ายนี้จะเป็นโปรแกรมส่วนเช็คว่ามีคำสั่งเปิด-ปิด ล็อคประตูรถยนต์หรือไม่ดังรูปที่ 19



รูปที่ 19 แผนผังการทำงานส่วนรับข้อมูลจากรถยนต์

2.3.1.2 ส่วนนี้จะแยกออกมาจากส่วนที่เขียนโปรแกรมรับข้อมูลออกมาเนื่องจากช่วงเวลาการทำงานสำหรับการรับส่งข้อมูลเข้าสู่ Firebase database จะใช้เวลาค่อนข้างนานเมื่อเทียบกับเวลาในส่วนการรับส่งข้อมูลกับรถยนต์ ดังนั้นหากเขียนโปรแกรมรวมกันจะทำให้เกิดการตกหล่นของข้อมูลจากรถยนต์ ดังนั้นเริ่มเขียนโปรแกรมส่วนนี้เขียนในส่วนการรับส่งข้อมูลกับเซิร์ฟเวอร์ผ่านโมดูลสามจีผ่านสัญญาณซีเรียลโดยจะมีแผนผังดังรูปที่ 20 โดยรายละเอียดของการทำงานระหว่างบอร์ด ESP32 และโมดูลสามจีจะถูกอธิบายอย่างละเอียดในหัวข้อถัดไป



รูปที่ 20 แผนผังการทำงานส่วนรับส่งข้อมูลผ่านอุปกรณ์ไร้สาย

2.3.2 การเขียนโปรแกรมแบบ Multitasking ของ Free RTOS

จากในหัวข้อก่อนหน้านี้ได้ทำการแบ่งการทำงานของโปรแกรมภายในบอร์ด ESP32 ออกเป็นสองส่วน ซึ่งโปรแกรมทั้งสองส่วนนี้จะทำงานพร้อมกันโดยการเขียน Multitasking ของ Free RTOS หลายนี่ใครคอนโทรลเลอร์นั้นไม่สามารถเขียนการทำงานในรูปแบบนี้ได้เนื่องจากมีตัวประมวลผลเพียงแต่ตัวเดียว ในทางกลับกันบอร์ด ESP32 สามารถทำงานสองส่วนในเวลาเดียวกันได้เนื่องจากมีตัวประมวลผลภายในบอร์ดอยู่สองตัว ในการใช้งานทั่วไปแล้วหากไม่มีการตั้งค่าการทำงานของตัวประมวลผลอีกตัวแล้วการทำงานทั้งหมดจะทำงานโดยใช้เพียงตัวประมวลผลตัวเดียวเท่านั้น ข้อดีของการเขียนแบบ Multitasking คือจะสามารถเขียนโปรแกรมให้ทำงานพร้อมกันได้แบบไม่ต้องมีความสัมพันธ์ใดๆร่วมกัน

การเขียนโปรแกรมมัลติทาสกิงเริ่มจากการประกาศตัวแปรต่างๆที่ต้องใช้ดังรูปที่ 21 โดย Task1code และ Task2code จะเป็นเหมือนฟังก์ชันวนสำหรับการทำงานสองส่วน

```

115
116 xTaskCreatePinnedToCore(
117     Task1code, /* Task function. */
118     "Task1", /* name of task. */
119     10000, /* Stack size of task */
120     NULL, /* parameter of the task */
121     2, /* priority of the task */
122     &Task1, /* Task handle to keep track of created task */
123     0); /* pin task to core 0 */
124 delay(500);
125
126 //create a task that will be executed in the Task2code() function, with priority 1 and executed on core 1
127 xTaskCreatePinnedToCore(
128     Task2code, /* Task function. */
129     "Task2", /* name of task. */
130     10000, /* Stack size of task */
131     NULL, /* parameter of the task */
132     10, /* priority of the task */
133     &Task2, /* Task handle to keep track of created task */
134     1); /* pin task to core 1 */
135 delay(500);
136
137 }
  
```

รูปที่ 21 ประกาศตัวแปรสำหรับการทำงานมัลติทาสกิง

หลังจากตั้งค่าการทำงานเรียบร้อยแล้ว ส่วนสำคัญคือการเขียนโปรแกรมภายในลูป โดยจะเขียนโปรแกรมส่วนแรกลงไปในกลุ่มของ Task1code และโปรแกรมอีกส่วนลงไป ใน Task2code และจะปล่อยให้ Void loop วางดังรูปที่ 22

```

140
141 void Task1code( void * pvParameters ){
142     for(;;)
143     {
144
145         //โปรแกรมส่วนที่หนึ่ง
146
147     }
148
149 }
150
151 void Task2code( void * pvParameters ){
152     for(;;)
153     {
154
155         //โปรแกรมส่วนที่สอง
156
157     }
158
159 }
160
161 void loop() {
162
163     //ปล่อยวางไว้...
164
165 }
166

```

รูปที่ 22 ตัวอย่างโครงสร้างการเขียนโปรแกรมมัลติทาสกิ้ง

จุฬาลงกรณ์มหาวิทยาลัย

CHULALONGKORN UNIVERSITY

2.3.3 การเขียนโปรแกรมสำหรับควบคุมโมดูลแคนบัส

โปรแกรมในส่วนนี้ถูกเขียนลงในโปรแกรมส่วนที่หนึ่ง โดยโปรแกรมส่วนควบคุมโมดูลแคนบัส ดังรูปที่ 16.ก ให้ดึงข้อมูลออกจากรถยนต์ได้ตามที่ต้องการผ่านช่องโอบีดีทู ก่อนที่จะเริ่มเขียนโปรแกรมส่วนควบคุมโมดูลนี้จะต้องรู้หลักการทำงานของโมดูลเบื้องต้นเสียก่อน โดยโมดูลจะรับส่งข้อมูลออกจากช่องโอบีดีทูผ่านทางขา CAN high และขา CAN low เข้าสู่โมดูลในขา H และ L ตามลำดับ เมื่อดึงข้อมูลจากรถยนต์เข้าโมดูลแล้วจะส่งข้อมูลออกไปสู่บอร์ด ESP32 ผ่านทาง SPI การเขียนโปรแกรมจะแบ่งออกเป็นสองส่วนคือส่วนรับข้อมูลจากรถยนต์และส่วนส่งข้อมูลให้รถยนต์เพื่อสั่งการล้อคและปลดล้อครถยนต์

เริ่มจากโปรแกรมส่วนรับข้อมูลจากรถยนต์ เริ่มการเขียนจากตั้งค่าตัวแปรและการทำงานของขาพิน CS ไว้ที่ขาที่ 5 ของบอร์ด ESP32 จากนั้นตั้งค่าให้โมดูลรับส่งข้อมูลอยู่ที่ความถี่ 1000 Kbps ดังรูปที่ 23

```

1 #include <SPI.h>
2 #include "mcp_can.h"
3 long unsigned int rxId;
4 unsigned long rcvTime;
5 unsigned char len = 0;
6 unsigned char buf[8];
7 const int SPI_CS_PIN = 5;
8 MCP_CAN CAN(SPI_CS_PIN); // Set CS pin
9 void setup()
10 {
11     Serial.begin(115200);
12     SPI.begin();
13
14     while (CAN_OK != CAN.begin(CAN_1000KBPS)) // init can bus : baudrate = 500k
15     {
16         Serial.println("CAN BUS Module Failed to Initialized");
17         Serial.println("Retrying...");
18         delay(200);
19     }
20 }
21
--

```

รูปที่ 23 โปรแกรมควบคุมโมดูลแคนบัสส่วนการตั้งค่า

หลังจากนั้นอัปโหลดโปรแกรมลงในบอร์ด ESP32 แล้วเช็คการทำงานของโมดูลแคนบัสผ่านซีเรียลมอนิเตอร์ (Serial monitor) เมื่อโปรแกรมเริ่มทำงานทาง Library จะเช็คการต่อสายสัญญาณระหว่างบอร์ด ESP32 และโมดูลแคนบัสว่าผิดพลาดหรือมีปัญหาหรือไม่ หากผิดพลาดทางโปรแกรมจะติดอยู่ใน While loop ในบรรทัดที่ 14 รูปที่ 23 โปรแกรมควบคุมโมดูลแคนบัสส่วนการตั้งค่า ไม่สามารถทำงานต่อได้จนกว่าจะแก้ไขการต่อสายสัญญาณ

หลังจากตั้งค่าและเชื่อมต่อโมดูลแคนบัสเสร็จสิ้นจึงเขียนโปรแกรมในส่วนรับข้อมูลจากรถยนต์ดังรูปที่ 24 โดยเริ่มจากเช็คว่ามีข้อมูลถูกส่งเข้าไปในโมดูลหรือไม่ หากมีข้อมูลส่งมาจะทำการเก็บข้อมูลชุดนั้นเอาไว้ และบันทึกเวลาในขณะนั้นเช่นกัน การสื่อสารด้วยแคนบัสภายในรถยนต์จะสื่อสารในรูปของเลขฐานสิบหก ดังนั้นในการเขียนโปรแกรมเพื่อให้เข้าใจง่ายจึงต้องปรับเปลี่ยนเป็นเลขฐานสิบในบรรทัดที่ 50 57 และ 61 ดังรูปที่ 24

```

37 void loop()
38 {
39
40   if(CAN_MSGAVAIL == CAN.checkReceive())           // check if data coming
41   {
42     rcvTime = millis();
43     CAN.readMsgBuf(&len, buf); // read data, len: data length, buf: data buf
44
45     rxId= CAN.getCanId();
46
47     Serial.print(rcvTime);
48     Serial.print("\t\t");
49     Serial.print("0x");
50     Serial.print(rxId, DEC);
51     Serial.print("\t");
52
53     for(int i = 0; i<len; i++) // print the data
54     {
55       if(buf[i] > 15){
56         Serial.print("0x");
57         Serial.print(buf[i], DEC);
58       }
59       else{
60         Serial.print("0x0");
61         Serial.print(buf[i], DEC);
62       }
63
64       Serial.print("\t");
65     }
66     Serial.println();
67   }
68
69 }

```

รูปที่ 24 โปรแกรมควบคุมโมดูลแคนบัสส่วนดึงข้อมูล

เมื่อโมดูลเริ่มทำงาน บอร์ดESP32 จะแสดงค่าที่ได้รับจากโมดูลแคนบัสผ่านทางจอซีเรียลมอนิเตอร์ดังรูปที่ 25

1645407	0x705	0x08	0x00	0x00	0xFF	0x9A	0xC0	0x00	0x2C
1645412	0x611	0x07	0xFD	0x1F	0x00	0xB4	0x80	0xC3	
1645416	0x548	0x00	0x00	0x00	0x00	0x00	0x00	0x00	0x00
1645421	0x610	0x00	0x00	0x00	0x00	0x01	0x6A		
1645425	0x180	0x00	0x00	0x00	0x00	0x00	0x00	0x00	0xBC
1645430	0x865	0x00	0x22	0x00	0x00	0x00	0x00	0x00	0x00
1645435	0x170	0x1A	0x6F	0x1A	0x6F	0x1A	0x6F	0x1A	0x6F
1645440	0x1017	0x51	0x78	0x26	0x02	0x00	0x00	0x00	0xF5
1645445	0x170	0x1A	0x6F	0x1A	0x6F	0x1A	0x6F	0x1A	0x6F
1645450	0x452	0x03	0xDA	0x28	0x08	0x3A	0x00	0x7F	0x93
1645455	0x456	0x80							

รูปที่ 25 ตัวอย่างข้อมูลที่ถูกต้องจากรถยนต์ในช่วงเวลา 1645407-1645455 มิลลิวินาที

จากรูปที่ 25 จะเห็นว่าในทุกบรรทัดจะโดนแบ่งสปีคคอลลัม ข้อมูลที่ว่างหมายความว่าไม่มีข้อมูล ณ ขณะนั้น โดยคอลลัมที่หนึ่งจะแสดงเวลาที่ข้อมูลถูกต้องโดยมีหน่วยเป็นมิลลิวินาที โดยเวลาจะเริ่มนับจากเมื่อบอร์ดESP32 เริ่มใช้งาน คอลลัมที่สองเป็นข้อมูลที่แสดงค่าของแคนไอดี(CAN ID) แคนไอดีคือรหัสเฉพาะของตัวแปรหนึ่งๆที่แตกต่างกัน ซึ่งจากทำการหารีอก่อนหน้านี้เราต้องการดึงข้อมูล

จากรถคือระดับน้ำมัน ความเร็วรถยนต์ ความเร็วรอบเครื่อง และเลขไมล์ ซึ่งค่าแคนไอดีของแต่ละตัวคือดังตารางที่ 3

ตารางที่ 3 รหัสแคนไอดีของข้อมูลที่ดึงออกจากรถยนต์

ข้อมูลภายในรถยนต์	รหัสแคนไอดี
ความเร็วรอบเครื่องยนต์	452
ความเร็วรถยนต์	1552
เลขไมล์(Odometer)	1553
ระดับน้ำมัน	1559

โดยข้อมูลแต่ละตัวจะมีความถี่ที่แสดงผลแตกต่างกันยกตัวอย่างเช่น ความเร็วของรถยนต์จะถูกแสดงออกที่ความถี่ทุกหนึ่งวินาทีและระดับน้ำมันจะถูกแสดงออกมาทุกสองวินาที จากรูปที่ 25 ในคอลล์ัมที่สามถึงคอลล์ัมที่สิบจะเป็นข้อมูลที่แสดงรายละเอียดในข้อมูลในแต่ละชุดนั้นๆ โดยจะมีค่าที่แสดงออกมาสองถึงแปดค่าเป็นเลขฐานสิบหก ยกตัวอย่างเช่นในรูปที่ 25 ณ เวลาที่ 1645450 มิลลิวินาที ค่าระดับน้ำมัน(แคนไอดี 452) แสดงข้อมูลออกมาแปดตัวคือ 03,DA,28,08,3A,00,7F,93 ข้อมูลชุดนี้ค่าสองตัวแรกจะแสดงถึงความเร็วรอบเครื่องของรถยนต์ในเวลานั้น จากชุดข้อมูลข้างต้นรถยนต์มีความเร็วรอบเครื่องคือ $RPM = 3*16^2+13*16+10 = 986$ รอบต่อนาที

เพื่อความง่ายต่อการเขียนโปรแกรมในส่วนรวบรวมข้อมูลในส่วนถัดไป การเขียนโปรแกรมในส่วนควบคุมโมดูลแคนบัสนี้จึงเขียนโปรแกรมในส่วนคำนวณค่าของข้อมูลที่แท้จริงไปพร้อมกัน จาก การเขียนโปรแกรมในรูปที่ 24 และรหัสแคนไอดีของตารางที่ 3 จึงเขียนโปรแกรมเพื่อกรองเก็บเฉพาะข้อมูลที่ต้องการเท่านั้น จากนั้นจะทำการคำนวณค่าของข้อมูลให้ออกมาในรูปแบบของเลขฐานสิบออกมาในเวลาเดียวกันโดยที่ค่าของระดับน้ำมันคือค่าของข้อมูลในคอลล์ัมที่สี่และห้า ค่าของความเร็วรถยนต์คือค่าของข้อมูลในคอลล์ัมที่สอง ค่าของเลขไมล์คือค่าของข้อมูลในคอลล์ัมที่ห้า หกและเจ็ด และสุดท้ายค่าของความเร็วรอบเครื่องคือค่าของข้อมูลในคอลล์ัมที่ศูนย์และหนึ่งดังที่ได้แสดงในรูปที่ 26

จากรูปที่ 26 ในช่วงบรรทัดที่ 229-235 จะเห็นว่ามีกรบวกเพิ่มค่าของ r ทุกครั้งที่เจอค่าของความเร็วรอบเครื่อง เนื่องจากความเร็วรอบเครื่องจะมีความถี่ในการส่งข้อมูลออกมามากกว่าข้อมูล

อื่นๆดังกล่าวมากกว่าถึง 25 เท่า ในโปรแกรมส่วนนี้จึงทำการเขียนเงื่อนไขเพื่อให้ข้อมูลที่เข้ามาเก็บในบอร์ด ESP32 ไม่มากเกินไป

```

218 if(CAN_MSGAVAIL == CAN.checkReceive()) // check if data coming
219 {
220     rcvTime = millis();
221     CAN.readMsgBuf(&len, buf); // read data, len: data length, buf: data buf
222
223     rxId= CAN.getCanId();
224
225     if (rxId == 1559){
226         fuel_val = buf[4]*16*16+buf[5];
227
228     }
229     else if (rxId == 452){
230         r++;
231         if (r>25){
232             engine_val = buf[0]*16*16+buf[1];
233             r=0;
234             time_startt = millis();
235         }
236     }
237     else if (rxId == 1552){
238
239         speed_val = buf[2];
240         distance += speed_val;
241
242     }
243     else if (rxId == 1553){
244
245         odo_val = buf[5]*16*16*16*16+buf[6]*16*16+buf[7];
246
247     }
248
249 }

```

รูปที่ 26 โปรแกรมควบคุมโมดูลแคนบัสส่วนคำนวณค่าของข้อมูล

2.3.4 การเขียนโปรแกรมสำหรับควบคุมโมดูลจีพีเอส

โปรแกรมชุดนี้จะเขียนต่อจากชุดโปรแกรมควบคุมโมดูลแคนบัสโดยโปรแกรมจะยังคงอยู่ในโปรแกรมส่วนที่หนึ่ง โมดูลจีพีเอสจะมีความเฉพาะต่างกับโมดูลอื่นๆเป็นโมดูลที่ต้องมีไฟเลี้ยงตลอดเวลาเนื่องจากมีโมดูลสำหรับจับนาฬิกาอยู่ภายในด้วยทำให้โมดูลจีพีเอสจะต้องใส่ถ่านเพื่อจ่ายไฟเลี้ยงอยู่ตลอดเวลา หลังจากจ่ายไฟและเชื่อมต่อโมดูลจีพีเอสเข้ากับบอร์ด ESP32 ตามหัวข้อที่ 2.2 จะทำการดึงข้อมูลตำแหน่งจากโมดูลจีพีเอสด้วยการอ่านสัญญาณซีเรียล บอร์ด ESP32 มีช่องสำหรับเชื่อมต่อสัญญาณซีเรียลภายนอกอยู่สองพอร์ทซึ่งทั้งคู่เป็นฮาร์ดแวร์ซีเรียล โดยจะให้พอร์ทซีเรียลที่หนึ่งเป็นขาสื่อสารกับโมดูลจีพีเอส โดยการรับข้อมูลจากโมดูลจีพีเอสจะใส่ไลบรารี TinyGPS++ เพื่อความสะดวกในการเขียนโปรแกรม เริ่มเขียนโปรแกรมจากการตั้งค่า Baud rate สำหรับการสื่อสารซีเรียลกับโมดูลจีพีเอสไว้ที่ 9600 จากนั้นให้ทำการเช็คว่ามีข้อมูลส่งเข้ามาในบอร์ด ESP32ผ่านซีเรียล

ช่องที่หนึ่งหรือไม่ เพื่อทำการบันทึกค่าของละจิจูดและลองจิจูดในรูปแบบข้อมูลประเภทสตริงดังรูปที่

27

```

182 while (Serial.available() > 0)
183   if (gps.encode(Serial.read()))
184     {
185       if (gps.location.isValid())
186         {
187           latitude = String((gps.location.lat()));
188
189           longitude =String((gps.location.lng()));
190         }
191     }
192

```

รูปที่ 27 โปรแกรมดึงข้อมูลตำแหน่งผ่านการสื่อสารประเภทซีเรียล

การใช้งานสำหรับโมดูลจีพีเอสในครั้งแรกจะใช้เวลาในการจับสัญญาณจากดาวเทียมเป็นช่วงเวลา 1-5 นาที หากตัวรับสัญญาณอยู่ในจุดอับสัญญาณจะไม่สามารถระบุตำแหน่งของตัวรถได้ชัดเจนหรือไม่สามารถระบุได้อย่างถูกต้อง[13]

2.3.5 การเขียนโปรแกรมสำหรับรวบรวมข้อมูล

การรวบรวมข้อมูลข้อมูลทั้งหมดเข้าด้วยกันเป็นส่วนที่สำคัญมากสำหรับโปรแกรมส่วนที่หนึ่ง การเขียนโปรแกรมส่วนนี้จะต้องคำนึงถึงรูปแบบในการส่งต่อให้กับทางเซิร์ฟเวอร์เช่นกัน เนื่องจากการส่งข้อมูลขึ้นเซิร์ฟเวอร์จะใช้เวลาค่อนข้างเยอะ เพราะฉะนั้นการส่งข้อมูลแต่ละชุดจึงควรมีข้อมูลครบทุกประเภทอยู่ในนั้น

จากหัวข้อที่ 2.3.3 และ 2.3.4 จึงได้ข้อมูลครบทุกตัวที่ต้องการ เริ่มการรวบรวมข้อมูลโดยการเปลี่ยนประเภทข้อมูลเป็นประเภทสตริง จากนั้นนำข้อมูลแต่ละตัวมาต่อกันโดยใช้คอมมาเป็นตัวกั้นระหว่างข้อมูล แล้วนำข้อมูลชุดเก็บไว้ในตัวแปร val ดังรูปที่ 28 เพื่อเตรียมตัวนำไปส่งขึ้นเซิร์ฟเวอร์ในโปรแกรมชุดต่อไป

```

250 val = String(speed_val)+ "," + String(odo_val)+ "," + String(engine_val)+ "," + String(fuel_val) +","+ latitude +"," + longitude;
251
252

```

รูปที่ 28 โปรแกรมรวมข้อมูลจากโมดูลแคนบัสและโมดูลจีพีเอส

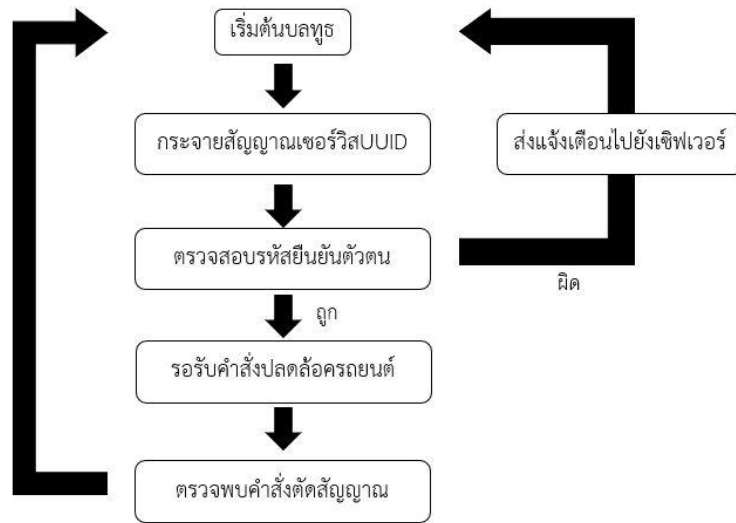
2.3.6 การเขียนโปรแกรมสำหรับควบคุมบลูทูธพลังงานต่ำ

ชิปบลูทูธพลังงานต่ำมีทั่วไปในบอร์ดESP32 สามารถใช้งานได้โดยไม่ต้องทำการติดตั้งอุปกรณ์ใดเพิ่ม ก่อนที่จะเริ่มเขียนโปรแกรมสำหรับควบคุมบลูทูธต้องศึกษาการทำงานของบลูทูธเสียก่อน การทำงาน

ของบลูทูธพลังงานต่ำจะมีส่วนสำคัญอยู่สองส่วน ส่วนแรกคืออุปกรณ์สำหรับการทำงานแบบบลูทูธเซิร์ฟเวอร์ (Bluetooth Server) เปรียบเสมือนเป็นเจ้าบ้านสำหรับการสื่อสารที่รอให้อุปกรณ์ตัวอื่นเข้าไปทำการเชื่อมต่อ โดยบลูทูธเซิร์ฟเวอร์จะกระจายสัญญาณ (Advertise) สำหรับรอการเชื่อมต่อ อีกส่วนคือบลูทูธไคลแอนท์ (Bluetooth Client) คืออุปกรณ์ฝั่งที่เข้าไปเชื่อมต่อกับบลูทูธเซิร์ฟเวอร์ โดยบลูทูธไคลแอนท์จะทำการแสกนว่ามีสัญญาณที่ต้องการเชื่อมต่อหรือไม่

จากรูปที่ 8 โครงสร้างของการสื่อสารบลูทูธขั้นนอกสุดคือชั้นเซอร์วิส การที่อุปกรณ์สองตัวจะสื่อสารกันผ่านบลูทูธจะต้องเริ่มจากการเชื่อมต่อของสัญญาณเดียวกัน โดยจะมีการกำหนดรหัสของชั้นเซอร์วิส เริ่มจากฝั่งบลูทูธเซิร์ฟเวอร์จะกระจายสัญญาณที่มีหมายเลขเซอร์วิสเฉพาะตัว จากนั้นหากมีอุปกรณ์ที่กำลังค้นหาสัญญาณเซอร์วิสเดียวกันนี้จะสามารถทำการเชื่อมต่อกันได้ หลังจากการเชื่อมต่อสำเร็จจะสามารถสื่อสารกันได้โดยจะแยกเป็นหมวดหมู่ตามชั้นของคาลเรกเทอริสติก (Characteristic) ซึ่งรหัสของเซอร์วิสและคาลเรกเทอริสติกจะถูกกำหนดด้วยรหัส UUID (Universally Unique Identifier) โดยรหัส UUID เป็นรหัส 128 บิต ประกอบไปด้วยตัวอักษรและตัวเลข 32 ตัว และแบ่งออกเป็น 4 ชุด หรือในรูปแบบนี้ xxxxxxxx-xxxx-xxxx-xxxx-xxxxxxxxxxxx เช่น 428912a6-29fd-4aea-ac33-7f52e4069726

จากการหารือกับฝั่งพัฒนาแอปพลิเคชันบนมือถือ โดยทั่วไปมือถือจะใช้งานบลูทูธเป็นตัวค้นหา(บลูทูธไคลแอนท์) เพราะสะดวกต่อการเขียนโปรแกรม นั่นคือฝั่งบอร์ด ESP32 จึงต้องเป็นบลูทูธเซิร์ฟเวอร์ เริ่มต้นการเขียนโปรแกรมโดยตั้งค่าการทำงานของบลูทูธเซิร์ฟเวอร์โดยกำหนดรหัส UUID ที่แตกต่างกันของส่วนเซอร์วิสและคาลเรกเทอริสติก จากนั้นเขียนโปรแกรมให้บอร์ด ESP32 กระจายสัญญาณเพื่อรองรับการเชื่อมต่อแบบอัตโนมัติ(Auto pairing) หลังจากบอร์ด ESP32 สามารถเชื่อมต่อกับแอปพลิเคชันมือถือได้แล้ว บอร์ด ESP32 จะทำการตรวจสอบว่ามือถือที่ทำการเชื่อมต่อคือมือถือที่ทำการจองรถเข้าผ่านระบบหรือไม่ หากไม่ใช่ทางบอร์ด ESP32 จะทำการแจ้งไปยังเซิร์ฟเวอร์ว่ามีมือถือที่ทำการเชื่อมต่อมาโดยไม่ได้รับอนุญาต จากนั้นจะทำการตัดสัญญาณและรีเซ็ตตัวบอร์ดหนึ่งนาทีก่อน หากตรวจสอบแล้วพบว่ารหัสตรงกับมือถือที่ทำการจองผ่านระบบ ตัวบอร์ด ESP32 จะทำการรองรับคำสั่งสัญญาณล๊อคและปลดล๊อคจากแอปพลิเคชันมือถือซึ่งเป็นรหัสที่ทำการใส่รหัสเฉพาะมาแล้วเช่นกันดังรูปที่ 29



รูปที่ 29 ผังการทำงานของบลูทูธชิพเวอร์

ในทำนองเดียวกัน ผังแอปพลิเคชันมือถือจะทำการค้นหาสัญญาณบลูทูธของบอร์ด ESP32 หลังจากเชื่อมต่อสำเร็จจะทำการส่งรหัสยืนยันตัวตนที่มือถือที่ได้รับ เมื่อได้รับการยืนยันจากบอร์ด ESP32 จะสามารถส่งสัญญาณคำสั่งปลดล็อคครอยนต์ได้

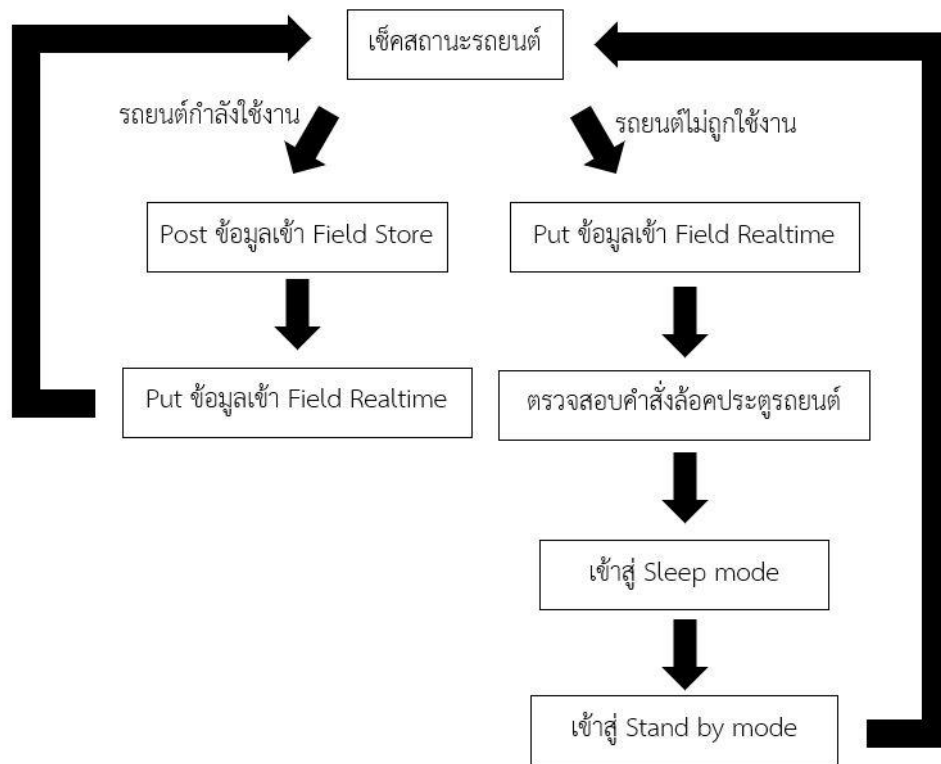
2.3.7 การเขียนโปรแกรมสำหรับควบคุมโมดูลสามจี

โมดูลสามจีจะเป็นตัวทำการสื่อสารหลักระหว่าง CoBox และ Firebase database โดยการสั่งการทำงานของโมดูลสามจีจะใช้เอทีคอมมานด์ (AT command) ซึ่งเป็นคำสั่งเดียวกันกับการทำงานของโทรศัพท์มือถือ นั่นหมายความว่าโมดูลสามจีสามารถเชื่อมต่ออินเทอร์เน็ต โทรเข้าออกและส่งข้อความแบบโทรศัพท์มือถือได้ ซึ่งการใช้งานของโมดูลในส่วนนี้จะเพียงแค่ส่วนเชื่อมต่อกับอินเทอร์เน็ตเพื่อรับส่งข้อมูลจากชิพเวอร์

การเขียนโปรแกรมส่วนนี้จะเขียนอยู่ในโปรแกรมส่วนที่สอง จะทำงานในเวลาเดียวกันกับโปรแกรมส่วนแรก เริ่มการเขียนโปรแกรมจากตั้งค่าการเชื่อมต่ออินเทอร์เน็ตของโมดูลสามจีโดยเชื่อมกับสัญญาณสามจีของทรูมูฟ หลังจากเชื่อมต่อสำเร็จจะทำการเชื่อมต่อกับ Firebase realtime database โดยจะต้องใส่รหัสอนุญาตการเข้าถึง (Authentication key) และ Host URL ของฐานข้อมูลที่ต้องการเชื่อมต่อ หลังจากเชื่อมต่อกับฐานข้อมูลของชิพเวอร์ได้แล้ว บอร์ด ESP32 จะดึงข้อมูล value ในรูปที่ 28 แล้วทำการส่งให้กับโมดูลสามจีเป็นเอทีคอมมานด์ผ่านช่องซีเรียลที่สอง เมื่อโมดูลสามจีได้รับคำสั่งจากบอร์ด ESP32 จะทำตามคำสั่งตามเอทีคอมมานด์นั้น หากทำสำเร็จโมดูล

สามจีจะส่งสัญญาณกลับไปบอร์ดว่าทำงานสำเร็จ แต่หากทำงานไม่สำเร็จจะส่งกลับไปว่าทำงานล้มเหลว โดยกระบวนการรับส่งข้อมูลถึงเซิร์ฟเวอร์ในแต่ละรอบจะใช้เวลาอยู่ที่ 1 ถึง 2 วินาที

ในแต่ละรอบของการทำงานโปรแกรมชุดที่สอง จะเริ่มต้นจากตรวจสอบสถานะการจองของรถยนต์จากเซิร์ฟเวอร์ โดยสถานะของรถยนต์จะมีสองสถานะ สถานะที่หนึ่งคือรถยนต์ถูกใช้งาน เมื่อ CoBox ตรวจสอบว่ารถยนต์อยู่ในสภาพถูกใช้งาน บอร์ด ESP32 จะทำการดึงข้อมูล value ดังรูปที่ 28 จากโปรแกรมส่วนที่หนึ่ง จากนั้นจะส่งข้อมูลดังกล่าวขึ้นเซิร์ฟเวอร์ผ่านโมดูลสามจีสองครั้ง ครั้งที่หนึ่งจะส่งข้อมูลแบบ POST ลงไปในฟิลด์ที่ไม่ต้องการให้ข้อมูลถูกลบ นั่นคือข้อมูลชุดต่อไปจะถูกส่งเข้ามาและซ้อนต่อไปจากข้อมูลก่อนหน้า ข้อมูลจะไม่หายไปจนกว่าจะโดนลบด้วยคำสั่ง DELETE การส่งข้อมูลครั้งที่สองจะส่งข้อมูลแบบ PUT ลงไปในฟิลด์ Realtime เพื่อที่จะแสดงค่า ณ ขณะนั้นได้ทันที ซึ่งข้อมูลในฟิลด์นี้จะถูกเขียนทับไปเรื่อยๆ จะไม่สามารถดูข้อมูลตัวก่อนหน้าได้ ในกรณีที่ตรวจสอบว่ารถยนต์อยู่ในสถานะไม่ถูกใช้งาน ทางบอร์ด ESP32 จะทำการส่งข้อมูลแบบ PUT ลงไปในฟิลด์ Realtime จากนั้นจะดึงข้อมูลจากเซิร์ฟเวอร์ว่ารถยนต์คันดังกล่าวมีคำสั่งล็อคหรือปลดล็อคประตูหรือไม่ จากนั้นจะเข้าสู่รูปแบบนอนหลับ(Sleep mode) และตื่นขึ้นมาทำงานต่อในเวลา 1 นาที ส่วนนี้จะถูกอธิบายอย่างละเอียดในบทถัดไป โดยแผนผังการทำงานแสดงไว้ดังรูปที่ 29

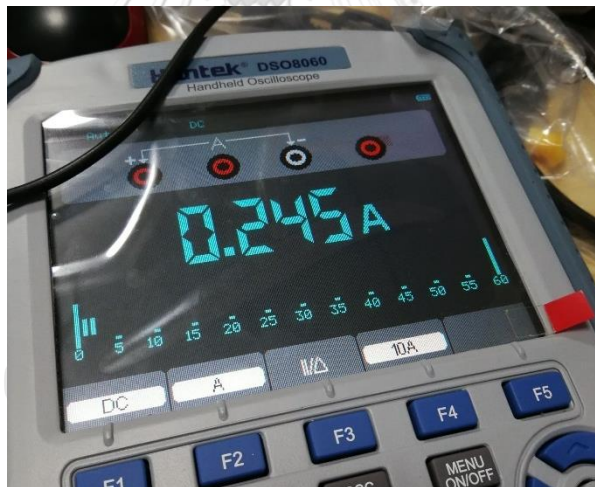


รูปที่ 30 แผนผังการทำงานจองโมดูลสามจี

2.3.8 การเขียนโปรแกรมสำหรับควบคุมการใช้พลังงาน

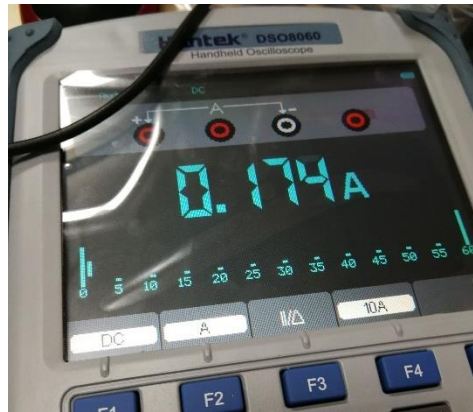
จากการเขียนโปรแกรมในส่วนก่อนหน้านี้นี้ทั้งหมดนั้นเพื่อให้การทำงานของกล่อง CoBox ทำงานได้ตามจุดประสงค์ แต่หลังจากการนำกล่องต้นแบบไปทดสอบกลับพบว่าการทำงานของกล่องใช้พลังงานค่อนข้างมาก ส่งผลให้แบตเตอรี่ภายในรถยนต์ถูกดึงเอาไปใช้งานจนหมดภายในเวลาไม่นานในกรณีที่รถยนต์ถูกจอดทิ้งไว้โดยไม่ได้ใช้งาน ซึ่งจำเป็นต้องมีการปรับเปลี่ยนให้เหมาะแก่การใช้งานจริงในลำดับต่อมา

เริ่มต้นจากทดสอบจำนวนการใช้ปริมาณของกระแสไฟฟ้าขณะใช้งาน โดยต่อเครื่องวัดกระแสไฟฟ้าแบบอนุกรมเข้ากับกล่อง CoBox จากนั้นทำการจ่ายไฟแรงดัน 12 โวลต์เหมือนกับรถยนต์ ได้ผลดังรูปที่ 31 นั่นคือ 245mA จากการปรึกษากับช่างในอู่รถยนต์พบว่าแบตเตอรี่รถยนต์ที่ใช้ทำการติดตั้งมีขนาด 50A นั่นคือหากกล่อง CoBox ทำงานตลอดเวลาจะสามารถใช้งานได้ประมาณ $\frac{50}{0.245} = 204$ ชั่วโมง หรือประมาณแปดวันครึ่ง จะเห็นว่าไม่เพียงพอต่อการใช้งานจริงดังนั้นก็จะมีรูปแบบประหยัดพลังงานเพื่อให้กล่องทำงานได้นานขึ้น



รูปที่ 31 ปริมาณกระแสไฟฟ้าขณะกล่อง CoBox ทำงาน

รูปแบบประหยัดพลังงาน(Sleep mode) คือรูปแบบที่จะทำให้กล่องอยู่ในสภาวะหลับ ไม่มีการทำงานใดๆ แต่กล่องพร้อมจะทำงานในเวลาต่อมา โดยขณะที่กล่องอยู่ในสภาวะหลับนั้นจะใช้กระแสไฟฟ้าสำหรับเลี้ยงโมดูลไวน้อยกว่าขณะทำงานมาก โดยใช้ปริมาณกระแสประมาณ 174mA ดังรูปที่ 32 นั่นคือหากกล่องอยู่ในสภาวะหลับตลอดเวลากล่องจะสามารถอยู่ในสภาวะนี้ได้ประมาณ $\frac{50}{0.174} = 287$ ชั่วโมง หรือประมาณสิบสองวัน จะเห็นว่าสามารถใช้งานได้ยาวนานกว่าแบบแรกมากกว่าสามวัน



รูปที่ 32 ปริมาณกระแสไฟฟ้าขณะกล่อง CoBox หลับ

ดังนั้นการเขียนโปรแกรมจะพิจารณาว่า หากรถยนต์อยู่ในสถานะใช้งาน กล่อง CoBox จะทำงานเต็มประสิทธิภาพ ซึ่งในกรณีนี้รถยนต์จะถูกใช้งานนั้นหมายความว่าแบตเตอรี่รถยนต์จะถูกชาร์จกลับทำให้ปริมาณกระแสในรถยนต์ไม่ลดลง กรณีที่รถยนต์อยู่ในสถานะไม่ถูกใช้งาน กล่อง CoBox จะอยู่ในสถานะหลับเพื่อรอการทำงานในลำดับต่อไปดังรูปที่ 29 ดังนั้นหากรถยนต์ไม่ถูกใช้งานเลยภายในสิบสองวัน แบตเตอรี่รถยนต์อาจจะถูกกล่อง CoBox ดึงไปใช้งานจนหมดได้

บทที่ 3

การทดลอง

3.1 ติดตั้งอุปกรณ์

หลังจากออกแบบและเขียนโปรแกรมสำหรับกล่อง CoBox เสร็จสิ้น จึงทำการประกอบอุปกรณ์ทั้งหมดเข้าด้วยกันแล้วใส่ลงไปกล่องดังรูปที่ 33 โดยจะมีสายไฟออกมาจากกล่องทั้งหมด 4 เส้น เส้นสีแดงคือสายไฟที่ต่อกับขั้วบวกของแบตเตอรี่รถยนต์ 12 โวลต์ เส้นสีดำคือสายไฟที่ต่อกับกราวด์ของรถยนต์ เส้นสีน้ำเงินและสีขาวคือสายสัญญาณต่อกับสัญญาณแคนไฮก (CAN High) และแคนโลว์ (CAN Low) ของรถยนต์ตามลำดับ อีกทั้งยังมีเสาสัญญาณไว้สำหรับรับสัญญาณอินเทอร์เน็ตสามจีและมีสายเสาสัญญาณยาว 1.5 เมตรสำหรับรับสัญญาณโมดูลจีพีเอส



รูปที่ 33 กล่อง CoBox

ทำการติดตั้งกล่อง CoBox โดยการใส่ไว้ใต้คอนโซลของรถยนต์ ในที่นี้จะไม่ใช่หัวต่อโอบีดีทูตัวผู้ (Male OBD-II Connector) เนื่องจากจะทำให้ง่ายต่อการถอดออกเช่นกัน ดังนั้นจึงใช้ตลับต่อสายไฟดังรูปที่ 34 ในการต่อสายไฟแต่ละเส้น ในส่วนของตำแหน่งสำหรับติดตั้งกล่องจะอยู่ใกล้กับช่องต่อโอบีดีทูและมีอุณหภูมิใกล้เคียงกับภายในห้องโดยสารจึงเป็นตำแหน่งที่เหมาะสม แต่ตำแหน่งดังกล่าวรับสัญญาณจีพีเอสได้ไม่ดีเท่าที่ต้องการ จึงต้องลากสายสัญญาณจีพีเอสออกมาติดตั้งภายนอกเพื่อให้รับสัญญาณได้ดียิ่งขึ้น การติดตั้งภายใต้คอนโซลควรจะต้องเฟรมบางขึ้นออกก่อนเพื่อความสะดวกในการติดตั้งดังรูปที่ 35 และทำให้ยากต่อการถอดออกอีกด้วย



รูปที่ 34 ตลับต่อสายไฟ



รูปที่ 35 ตำแหน่งติดตั้ง CoBox ภายในคอนโซล

3.2 ข้อมูลบนเซิร์ฟเวอร์

หลังจากติดตั้งกล่อง CoBox และทำการใช้งานจริงไปช่วงเวลาหนึ่ง จึงมีข้อมูลจากรถยนต์ส่งขึ้นมาเก็บไว้บนเซิร์ฟเวอร์จำนวนมาก จากนั้นทำการดึงข้อมูลออกจากเซิร์ฟเวอร์เพื่อวิเคราะห์ต่อไป โดยดึงออกมาในรูปแบบเจสัน (JSON) ดังรูปที่ 36 แล้วส่งเข้าโปรแกรมไมโครซอฟท์เอ็กเซล (Microsoft Excel) เพื่อสะดวกต่อการวิเคราะห์

```
"val_stored100052" : "6,170872,966,158,24723,136964150.00,1005358983.33",
"val_stored100053" : "3,170872,973,167,24818,136964566.67,1005359983.33",
"val_stored100054" : "5,170872,944,139,24848,136964883.33,1005360566.67",
"val_stored100055" : "4,170872,947,146,24926,136965383.33,1005361483.33",
"val_stored100056" : "7,170872,890,122,24980,136965583.33,1005362066.67",
"val_stored100057" : "6,170872,1100,142,25033,136965616.67,1005362533.33",
"val_stored100058" : "0,170872,1007,85,25108,136965866.67,1005363083.33",
"val_stored100059" : "31,170872,1854,177,25395,136966683.33,1005365066.67",
"val_stored100060" : "43,170872,1752,165,26164,136970850.00,1005372866.67",
"val_stored100061" : "44,170873,1999,170,27078,136974233.33,1005381200.00",
"val_stored100062" : "37,170873,1345,138,27834,136977833.33,1005389000.00",
"val_stored100063" : "33,170873,1397,146,28508,136982466.67,1005396133.33",
"val_stored100064" : "17,170873,1391,152,29056,136985933.33,1005400533.33",
"val_stored100065" : "15,170873,1565,147,29389,136988600.00,1005403550.00",
"val_stored100066" : "24,170873,1277,164,29782,136991433.33,1005405916.67",
```

รูปที่ 36 ตัวอย่างข้อมูลจากรถยนต์ในรูปแบบเจสัน

เมื่อข้อมูลทั้งหมดอยู่ในโปรแกรมไมโครซอฟท์เอ็กเซลแล้ว ข้อมูลเหล่านั้นจะถูกรวมไว้ในคอลัมเดียวเพราะทางโปรแกรมมองว่าข้อมูลเป็นข้อมูลเพียงตัวเดียวเท่านั้น จึงต้องทำการแยกข้อมูลออกมาโดยทำการเลือกข้อมูลในคอลัมที่ต้องการแยกข้อมูลออกมา จากนั้นกด Text to columns แล้วเลือกตัวแบ่งเป็นเครื่องหมายคอมม่า จากนั้นกดตกลง กระบวนการดังกล่าวจะทำการแยกข้อมูลออกมาเป็นแต่ละคอลัมตามที่ต้องการดังรูปที่ 37 โดยคอลัม A B C D E F G H คือ จำนวนข้อมูล ความเร็วรถยนต์(กิโลเมตร/ชั่วโมง) เลขไมล์(กิโลเมตร) ความเร็วรอบเครื่องยนต์(รอบ/นาที) ระดับน้ำมัน(10*ลิตร) ระยะทางทั้งหมดที่วิ่ง(เมตร) ละติจูดและลองจิจูดตามลำดับ

	A	B	C	D	E	F	G	H
1	val_stored100041	0	170872	993	156	20786	136949950	1005319017
2	val_stored100042	0	170872	1623	126	20786	136949950	1005319017
3	val_stored100043	23	170872	1278	153	21118	136951066.7	1005321650
4	val_stored100044	27	170872	1456	161	21622	136952766.7	1005326367
5	val_stored100045	30	170872	1425	151	22190	136955400	1005332700
6	val_stored100046	24	170872	1372	115	22784	136957750	1005338817
7	val_stored100047	27	170872	1543	153	23285	136959683.3	1005343600
8	val_stored100048	25	170872	1425	161	23790	136961483.3	1005349367
9	val_stored100049	16	170872	1346	156	24115	136962550	1005352533
10	val_stored100050	8	170872	1574	164	24328	136963233.3	1005354750
11	val_stored100051	12	170872	1659	155	24539	136963533.3	1005356750
12	val_stored100052	6	170872	966	158	24723	136964150	1005358983
13	val_stored100053	3	170872	973	167	24818	136964566.7	1005359983
14	val_stored100054	5	170872	944	139	24848	136964883.3	1005360567
15	val_stored100055	4	170872	947	146	24926	136965383.3	1005361483

รูปที่ 37 ตัวอย่างข้อมูลจากรถยนต์ในโปรแกรมไมโครซอฟท์เอ็กเซล

จุฬาลงกรณ์มหาวิทยาลัย
CHULALONGKORN UNIVERSITY

3.3 ทดสอบปลดล็คประตู่

การสั่งการเพื่อล็อคหรือปลดล็อคประตู่่นั้นมีสองรูปแบบคือการสั่งการผ่านบลูทูธผ่านแอปพลิเคชันบนมือถือและการสั่งการผ่าน Firebase database

3.3.1 สั่งการผ่านบลูทูธคอนเนคชัน

หลังจากติดตั้งกล่อง CoBox ในรถยนต์แล้ว ส่วนบลูทูธพลังงานต่ำของบอร์ด ESP32 จะเริ่มทำงานทันทีในสถานะของบลูทูธเซิร์ฟเวอร์เพื่อรอการเชื่อมต่อจากแอปพลิเคชันบนมือถือ


ในส่วนของแอปพลิเคชันบนมือถือนั้นจะสามารถใช้งานส่วนนี้ได้ก็ต่อเมื่อทำการจองรถยนต์แล้วเท่านั้น โดยเริ่มจากการค้นหาสัญญาณบลูทูธที่มีรหัสเซอร์วิสและรหัสคาแรกเทอร์สติกที่

ต้องการเชื่อมต่อ หลังจากเชื่อมต่อสำเร็จทางแอปพลิเคชันส่งรหัสยืนยันตัวตนว่าผู้ใช้ที่ทำการจองรถยนต์ตัวจริง เมื่อยืนยันเสร็จสิ้นจึงสามารถทำการส่งรหัสเฉพาะเพื่อสั่งล็อคและปลดล็อครถยนต์ได้

3.3.2 สั่งการผ่านอินเทอร์เน็ตคอนเนคชัน

การสั่งการล็อคหรือปลดล็อครถยนต์ผ่านทางอินเทอร์เน็ตนั้นสามารถทำได้จากทางผู้ดูแลระบบเท่านั้น จากรูปที่ 30 จะเห็นว่าทางฝั่งกล่อง CoBox จะมีสถานะสำหรับตรวจสอบคำสั่งล็อคหรือปลดล็อคจากเซิร์ฟเวอร์ในขณะที่สถานะของรถยนต์ไม่ถูกใช้งาน ดังนั้นทางผู้ดูแลระบบจะสามารถสั่งการได้ก็ต่อเมื่อรถยนต์คันนั้นๆไม่ได้ถูกใช้งานในเวลานั้น

การสั่งล็อคหรือปลดล็อครถยนต์นั้นสามารถทำได้โดยแก้ไขข้อมูลในฟิลด์ door ของรถยนต์คันนั้นๆดังรูปที่ 38 โดยเมื่อเขียนให้สถานะของฟิลด์ door เป็น Unlock รถยนต์จะทำการปลดล็อคประตูของรถยนต์ และเมื่อแก้ไขให้สถานะของฟิลด์ door เป็น Lock รถยนต์จะทำการล็อคประตูของรถยนต์



altis [REDACTED]
 [REDACTED]
 door: "Lock"
 [REDACTED]
 realtime: "0, 177161, 1112, 317, 65242, 136899450.00, 1005113633"
 status: "Park"

รูปที่ 38 สั่งล็อครถยนต์ผ่านอินเทอร์เน็ตขณะรถยนต์ไม่ถูกใช้งาน

บทที่ 4

ผลการทดลอง

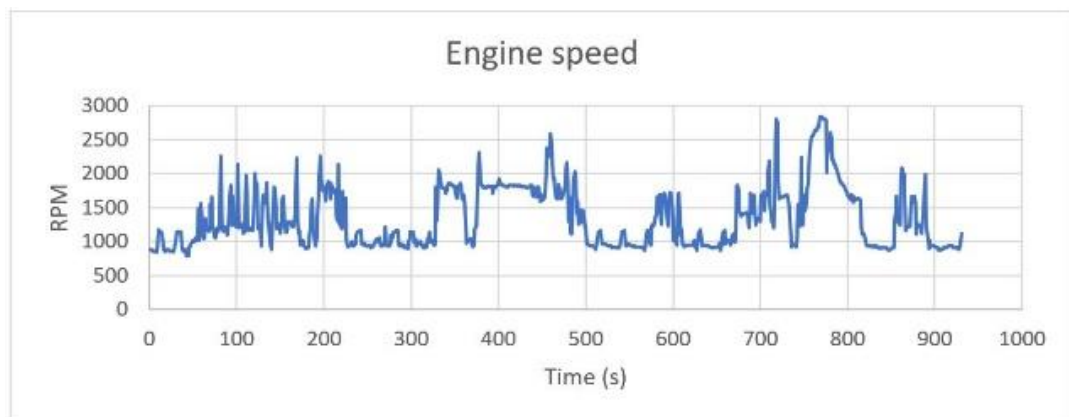
4.1 วิเคราะห์ข้อมูลจากFirebase realtime database

4.1.1 อภิปรายคุณภาพของข้อมูล

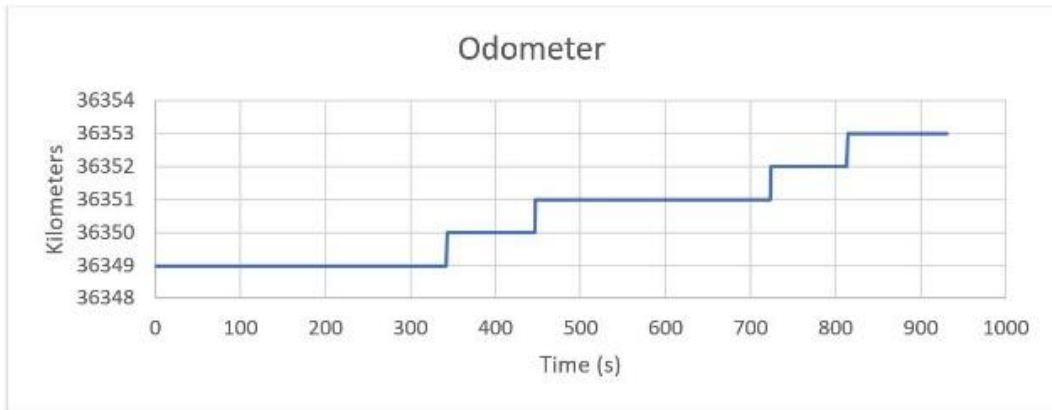
หลังจากทำการทดสอบขับรถยนต์เพื่อทำการเก็บข้อมูล ทำให้ได้ข้อมูลมาเก็บไว้ในเซิร์ฟเวอร์จำนวนมาก จึงทำการดึงข้อมูลบางส่วนมาวิเคราะห์ถึงแนวโน้มในช่วงข้อมูลต่อเวลา โดยเลือกข้อมูลช่วงการขับรถยนต์จากที่ปักไปเติมน้ำมันที่ปั้มน้ำมันเพราะจะสามารถสังเกตพฤติกรรมการเปลี่ยนแปลงของระดับน้ำมันได้ง่าย หลังจากดึงข้อมูลในช่วงเหตุการณ์ดังกล่าวออกจากเซิร์ฟเวอร์ไปใส่ในโปรแกรมไมโครคอนโทรลเลอร์เอ็กซ์เซลโดยแยกประเภทข้อมูลออกในแต่ละคอลัมน์ จากนั้นทำการวาดกราฟโดยใช้ข้อมูลเหล่านั้นเทียบกับเวลาได้ดังรูปที่ 39 รูปที่ 40 รูปที่ 41 และรูปที่ 42 ส่วนค่าของพิกัดละติจูดและลองจิจูดนำไปวาดกราฟสามมิติบนแผนที่ได้ดังรูปที่ 43



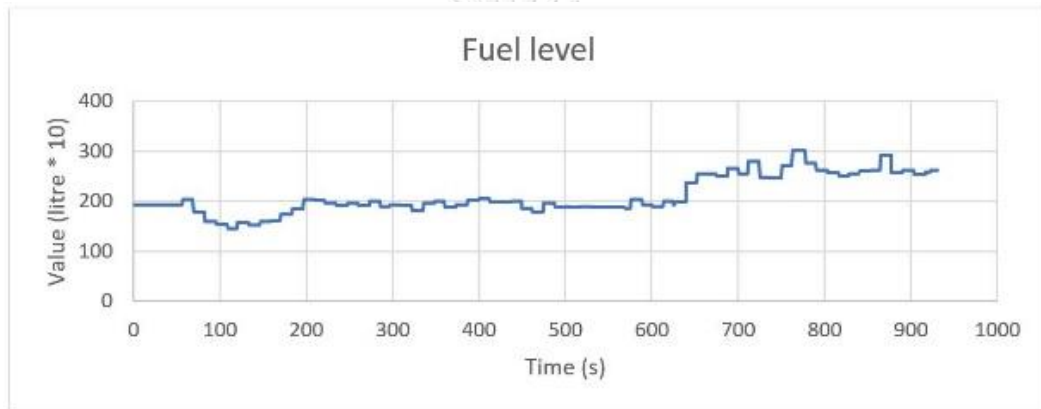
รูปที่ 39 กราฟความสัมพันธ์ของความเร็วยนต์ต่อเวลา



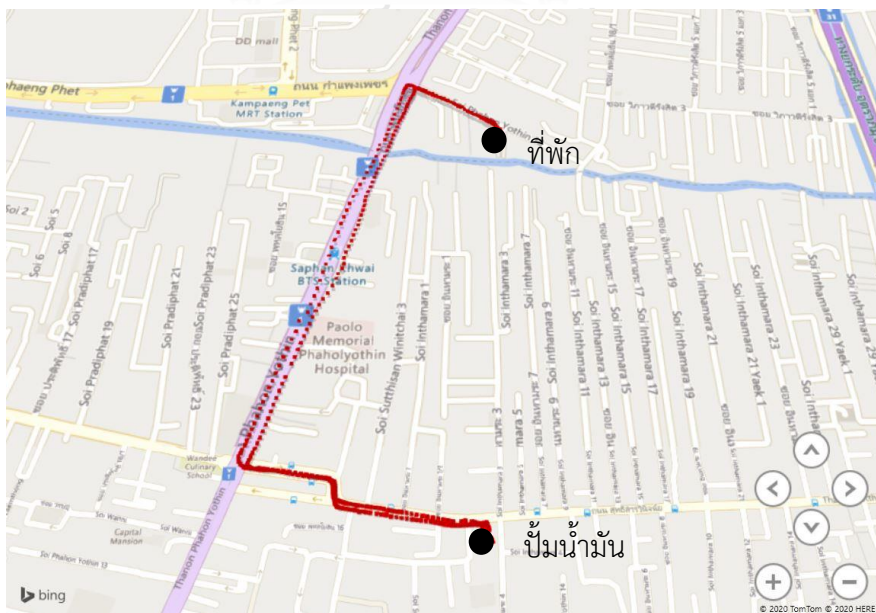
รูปที่ 40 กราฟความสัมพันธ์ของความเร็วรอบเครื่องต่อเวลา



รูปที่ 41 กราฟความสัมพันธ์ของเลขไมล์ต่อเวลา



รูปที่ 42 กราฟความสัมพันธ์ของระดับน้ำมันต่อเวลา



รูปที่ 43 พิกัดการเดินทางระหว่างปั้มน้ำมันไปเติมน้ำมัน

รูปภาพที่แสดงมาดังกล่าวมาทั้ง 5 รูปได้แสดงค่าของข้อมูลให้เห็นได้ชัดเจนตามที่หวังไว้ จากรูปที่ 39 และ รูปที่ 40 จะเห็นว่าช่วงเวลาที่รถยนต์ไม่เคลื่อนที่ กราฟของความเร็วรถยนต์และความเร็วรอบเครื่องอยู่ที่จุดต่ำสุดทั้งคู่(เช่นในช่วงเวลา 230-300วินาที) และช่วงที่ความเร็วสูงสุดจะเป็นช่วงที่รอบเครื่องมีการทำงานสูงสุดเช่นกัน(ที่เวลา 785วินาที) จากรูปที่ 41 ขณะเริ่มขับรถยนต์มีเลขไมล์อยู่ที่ 36349 กิโลเมตร หลังจากขับกลับจากเติมน้ำมันมาที่ปั๊กรถยนต์บอกเลขไมล์อยู่ที่ 36353 กิโลเมตร นั่นคือรถยนต์ขับเป็นระยะทางประมาณ 4 กิโลเมตร ซึ่งเป็นการบอกระยะทางแบบคร่าวๆ เท่านั้น การคำนวณระยะทางที่แท้จริงของรถยนต์สามารถทำได้โดยการนำความเร็วที่บันทึกไว้ในช่วงเวลาดังกล่าวมาบวกรวมกัน แล้วแปลงหน่วยให้อยู่ในรูปของ SI ดังสมการ

$$Distance_{total} = \sum_{i_{Start}}^{i_{End}} V_i / 3.6$$

โดย V_i คือค่าของความเร็วในขณะนั้นๆ(กิโลเมตร/ชั่วโมง) และ $Distance_{total}$ คือระยะทางรวม(เมตร) จากสถานการณ์ข้างต้นจะสามารถคำนวณระยะทางรวมจากความเร็วได้ 3837.8 เมตร ใกล้เคียงกับระยะทางที่อ่านจากเลขไมล์

เนื่องจากข้อมูลชุดนี้ถูกเลือกมาด้วยเหตุผลการเติมน้ำมัน จากรูปที่ 42 จะเห็นว่าระดับน้ำมันของรถยนต์ในช่วงท้ายจะมีปริมาณมากกว่าในช่วงแรก โดยช่วงเวลาที่ทำการเติมน้ำมันอยู่ในช่วงเวลาประมาณ 620-660 วินาที โดยในขณะวินาทีที่ 620 วินาที และ 660 วินาที วัดระดับน้ำมันได้ 19.4 ลิตร และ 26.2 ลิตรตามลำดับ นั่นคือมีระดับน้ำมันเพิ่มขึ้นมา 6.8 ลิตร

แต่จะเห็นว่าค่าของปริมาณน้ำมันในรถยนต์จะมีความแกว่งค่อนข้างมาก เนื่องจากภายในรถยนต์ใช้เซนเซอร์วัดระดับน้ำมันจากผิวของปริมาณของเหลวในตัวถัง เมื่อทำการขับรถยนต์จะส่งผลให้น้ำมันกระเพื่อมไปพร้อมกับตัวรถยนต์จึงเป็นสาเหตุที่ทำให้ปริมาณน้ำมันมีความไม่แน่นอนในขณะขับรถยนต์

จากรูปที่ 43 จะเห็นว่าพิกัดที่วาดไว้บนแผนที่จะค่อนข้างแม่นยำมากในช่วงระหว่างขับจากที่ปักเข้าสู่ถนนใหญ่(เส้นสีม่วงอ่อนในรูปที่ 43) และขับจากถนนใหญ่เข้าสู่ปั๊มน้ำมัน แต่ในส่วนระหว่างขับรถอยู่ในถนนใหญ่ จะมีบางช่วงที่พิกัดจะคลาดเคลื่อนออกนอกบริเวณถนน เนื่องจากถนนเส้นนี้เป็นถนนใต้แนวรถไฟฟ้าบีทีเอส (BTS Sky train) ทำให้โมดูลจีพีเอสภายในกล่อง CoBox ไม่สามารถจับสัญญาณได้แม่นยำจึงส่งผลให้เกิดการคลาดเคลื่อนดังที่ปรากฏ

4.1.2 อภิปรายคุณภาพของการส่งข้อมูล

ในส่วนของการอภิปรายคุณภาพของการส่งข้อมูลจะแบ่งการอภิปรายเป็นสองส่วน โดยส่วนแรกจะอภิปรายความล่าช้าในการส่งข้อมูล และส่วนที่สองจะอภิปรายการสูญหายระหว่างการส่งข้อมูล

เริ่มจากการเก็บข้อมูลหลังจากติดตั้งกล่อง CoBox เป็นเวลาแปดชั่วโมงเต็ม ในช่วงเวลา 8.00 น. ถึง 16.00 น. โดยตั้งค่าการส่งข้อมูลจากกล่อง CoBox ขึ้นสู่เซิร์ฟเวอร์ในทุก 1 วินาที หลังจากเก็บข้อมูลครบแปดชั่วโมง พบว่ามีข้อมูลถูกส่งเข้าสู่เซิร์ฟเวอร์ทั้งหมด 27609 ชุด โดยมีข้อมูล 221 ชุดที่ถูกส่งมาไม่สมบูรณ์หรือสูญหายไป หากพิจารณาความล่าช้าในการส่งข้อมูลจะพบว่า ภายในเวลา 28800 วินาที (8 ชั่วโมง) มีข้อมูลถูกส่งมาเพียง 27609 ชุดเท่านั้น พบว่ามีอัตราเร็วในการส่งข้อมูลอยู่ที่ 1.04314 ชุดต่อวินาที หรือก็คือการส่งข้อมูลเกิดการล่าช้าอยู่ที่ 4.314 เปอร์เซ็นต์

ในตลอดการส่งข้อมูลทั้ง 27609 ชุด มีข้อมูลที่สูญหายหรือไม่สามารถนำมาใช้ได้อยู่ที่ 221 ชุด นั่นคือเกิดการสูญหายของการส่งข้อมูลอยู่ที่ 0.800 เปอร์เซ็นต์

4.2 รายงานตรวจสอบจากบริษัทเช่า

หลังจากสร้างกล่อง CoBox ตัวต้นแบบเรียบร้อยแล้วจึงส่งกล่องให้ทางบริษัทเช่าที่ร่วมมือกัน 2 กล่อง เพื่อทำการทดสอบประสิทธิภาพการทำงาน โดยสิ่งที่ทางบริษัทต้องการทดสอบระบบติดตามรถยนต์มีอยู่ 6 ข้อด้วยกันดังรูปที่ 44 ซึ่งหัวข้อที่ 2 3 4 5 และ 6 เป็นหัวข้อสำหรับทดสอบความสามารถของกล่อง CoBox ส่วนหัวข้อที่ 1 เป็นหัวข้อสำหรับทดสอบฝั่งแอปพลิเคชันมือถือ

	Toyota Yaris 8กน 6576	Toyota Yaris 8กน 6607	หมายเหตุ
1. การได้ระบบ Log in เพื่อ เข้าใช้งาน Application KOKAR	✓	✓	
2. การได้ระบบ lock และ unlock ประตูรถยนต์	✓	✓	ระบบ lock และ unlock ต้องใช้ปุ่มที่ติดตั้ง
3. การแสดงผลระดับน้ำมัน	✓	✓	
4. การแสดงความเร็วของ รถยนต์	✓	✓	
5. การแสดง Mileage ของ แต่ละทริป (มีการรีเซ็ตเป็น 0 ทุกครั้งที่สตาร์ทรถ)	✓	✓	
6. การแสดงระยะเวลาขับ	✓	✓	

หมายเหตุ กรุณาใส่สถานภาพของการทดสอบด้านบน

ฉัตรทิพย์

เจ้าหน้าที่ตรวจงาน

รูปที่ 44 ตารางรายการตรวจสอบของบริษัทรถเช่า



บทที่ 5

บทสรุป

บทนี้คือบทสุดท้ายของงานวิจัยชิ้นนี้ ก่อนจะสรุปงานทั้งหมดจึงขอย้อนกลับไปทบทวนวัตถุประสงค์ของงานวิจัยชิ้นนี้อีกครั้ง งานวิจัยนี้จัดทำขึ้นเพื่อพัฒนาระบบติดตามสถานะของรถยนต์สำหรับธุรกิจรถเช่า และเพื่อออกแบบอุปกรณ์สำหรับติดตั้งภายในรถยนต์และรองรับกับแอปพลิเคชันมือถือในอนาคต โดยใช้แค่ช่องโอบีดีทีหูสำหรับเชื่อมต่อรถยนต์เท่านั้น

โดยเมื่อออกแบบและประดิษฐ์อุปกรณ์ต้นแบบกล่อง CoBox ได้สำเร็จ จึงทำการติดตั้งกล่องลงในรถยนต์ Toyota altis 2016 ทำการเก็บข้อมูลเป็นเวลาหนึ่งสัปดาห์ โดยข้อมูลที่ดึงออกมาจากรถยนต์คือ ความเร็วรถยนต์ ความเร็วรอบเครื่อง เลขไมล์ และระดับน้ำมัน อีกทั้งยังมีพิกัดจากโมดูลจีพีเอส ข้อมูลจะถูกส่งขึ้นคลาวด์เซิร์ฟเวอร์ทุก 1 วินาที หลังจากนั้นทำการวิเคราะห์ข้อมูลที่ทำการเก็บมาพบว่าข้อมูลทั้งหมดสามารถถูกส่งขึ้นเซิร์ฟเวอร์ได้ตามที่ต้องการ โดยมีความล่าช้าของการส่งข้อมูลอยู่ที่ 4.31% และมีอัตราการสูญหายของข้อมูลอยู่ที่ 0.80% ข้อมูลของความเร็วรถยนต์ ความเร็วรอบเครื่อง และเลขไมล์จากรถยนต์เป็นข้อมูลที่สามารถนำไปใช้ประโยชน์ในการวิเคราะห์ต่อไปได้ทันที แต่ระดับน้ำมันและพิกัดของตำแหน่งรถยนต์เป็นข้อมูลที่จะต้องมีการกรองหรือปรับแต่งเบื้องต้นก่อนนำไปใช้วิเคราะห์ต่อไป

ในส่วนของการส่งข้อความหรือแจ้งเตือนประตูดรถยนต์สามารถทำได้ดีในการส่งการทำงานผ่านอินเทอร์เน็ต ส่วนการส่งการทำงานผ่านบลูทูธในบางครั้งไม่สามารถทำการเชื่อมต่อได้เนื่องจากแอปพลิเคชันมือถือหาสัญญาณบลูทูธจากรถยนต์ไม่เจอ หากเชื่อมต่อบลูทูธได้สำเร็จก็สามารถทำการส่งข้อความและแจ้งเตือนได้ดีเช่นกัน

อย่างไรก็ตาม ระบบติดตามสถานะของรถยนต์นี้สามารถทำงานได้ดีในรถยนต์ Toyota altis 2016 เท่านั้น ผู้วิจัยจึงมีแผนในการพัฒนาระบบติดตามเพื่อรองรับกับรถยนต์รุ่นต่างๆต่อไปในอนาคต

บรรณานุกรม

1. Preeti Wadhvani, P.S., *Car Sharing Market Size By Model (P2P, Station-Based, Free-Floating), By Business Model (Round Trip, One Way), By Application (Business, Private), Industry Analysis Report, Regional Outlook, Application Potential, Price Trend, Competitive Market Share & Forecast, 2020 – 2026*. 2020. p. 225.
2. Max Roser, H.R.a.E.O.-O. *World Population Growth*. 2019; Available from: <https://ourworldindata.org/world-population-growth>.
3. Worldometer. *Current World Population*. 2020; Available from: <https://www.worldometers.info/world-population/>.
4. Ikezoe, K., E. Kiriya, and S. Fujimura, *Car-sharing intention analysis in Japan by comparing the utility of car ownership for car-owners and non-car owners*. *Transport Policy*, 2020. **96**: p. 1-14.
5. Movmi. *CARSHARING MARKET & GROWTH ANALYSIS 2019*. 2019; Available from: <https://movmi.net/carsharing-market-growth-2019/>.
6. Engineers, S.o.A., *Diagnostic Test Modes J1979_201202*. 2004, SAE.
7. Sik, D., et al., *Comparing OBD and CAN Sampling on the go with the SensorHUB Framework*. *Procedia Engineering*, 2016. **168**: p. 39-42.
8. Rimpas, D., A. Papadakis, and M. Samarakou, *OBD-II sensor diagnostics for monitoring vehicle operation and consumption*. *Energy Reports*, 2020. **6**: p. 55-63.
9. D'Agostino, M., M. Naddeo, and G. Rizzo, *Development and validation of a model to detect active gear via OBD data for a Through-The-Road Hybrid Electric Vehicle*. *IFAC Proceedings Volumes*, 2014. **47(3)**: p. 6618-6623.
10. Baek, S.-h. and J.-W. Jang, *Implementation of integrated OBD-II connector with external network*. *Information Systems*, 2015. **50**: p. 69-75.
11. Adafruit. *Introduction to Bluetooth Low Energy*. GATT 2020; Available from: <https://learn.adafruit.com/introduction-to-bluetooth-low-energy/gatt>.
12. Hassan, S.S., et al., *Security threats in Bluetooth technology*. *Computers &*

- Security, 2018. **74**: p. 308-322.
13. Global5thailand. *GPS knowledge*. 2006; Available from: <https://www.global5thailand.com/thai/gps.htm>.
 14. Goletz, M. and D. Ehebrecht, *How can GPS/GNSS tracking data be used to improve our understanding of informal transport? A discussion based on a feasibility study from Dar es Salaam*. *Journal of Transport Geography*, 2020. **88**: p. 102305.
 15. Sirawit. ทำความรู้จัก *Firestore* และผลิตภัณฑ์ต่าง ๆ ในช่วงต้นปี 2019 กัน. 2019; Available from: <https://medium.com/@sirawit/firebase-%E0%B8%84%E0%B8%B7%E0%B8%AD%E0%B8%AD%E0%B8%B0%E0%B9%84%E0%B8%A3-%E0%B8%97%E0%B8%B3%E0%B8%84%E0%B8%A7%E0%B8%B2%E0%B8%A1%E0%B8%A3%E0%B8%B9%E0%B9%89%E0%B8%88%E0%B8%B1%E0%B8%81-firebase-%E0%B9%83%E0%B8%99%E0%B8%8A%E0%B9%88%E0%B8%A7%E0%B8%87%E0%B8%95%E0%B9%89%E0%B8%99%E0%B8%9B%E0%B8%B5-2019-%E0%B8%81%E0%B8%B1%E0%B8%99-473a8e8699fb>.
 16. Ohlyver, M., et al., *The Comparison Firestore Realtime Database and MySQL Database Performance using Wilcoxon Signed-Rank Test*. *Procedia Computer Science*, 2019. **157**: p. 396-405.



จุฬาลงกรณ์มหาวิทยาลัย
CHULALONGKORN UNIVERSITY

ประวัติผู้เขียน

ชื่อ-สกุล	สรวิชญ์ สาครินทร์
วัน เดือน ปี เกิด	6 กันยายน 2539
สถานที่เกิด	สงขลา
วุฒิการศึกษา	จุฬาลงกรณ์มหาวิทยาลัย
ที่อยู่ปัจจุบัน	208 ถนนนางงาม ตำบลบ่อยาง อำเภอเมือง จังหวัดสงขลา



จุฬาลงกรณ์มหาวิทยาลัย
CHULALONGKORN UNIVERSITY